

Лекция 9

- Как работает сверточная сеть
- Модификации сверток
- Пример применения из астрофизики частиц
- Генеративные модели

Повторение: глубокие нейронные сети, оптимизация

Проблемы:

- обнуление градиентов весов для начальных слоев
- ошибка округления
- большое число оптимизируемых весов

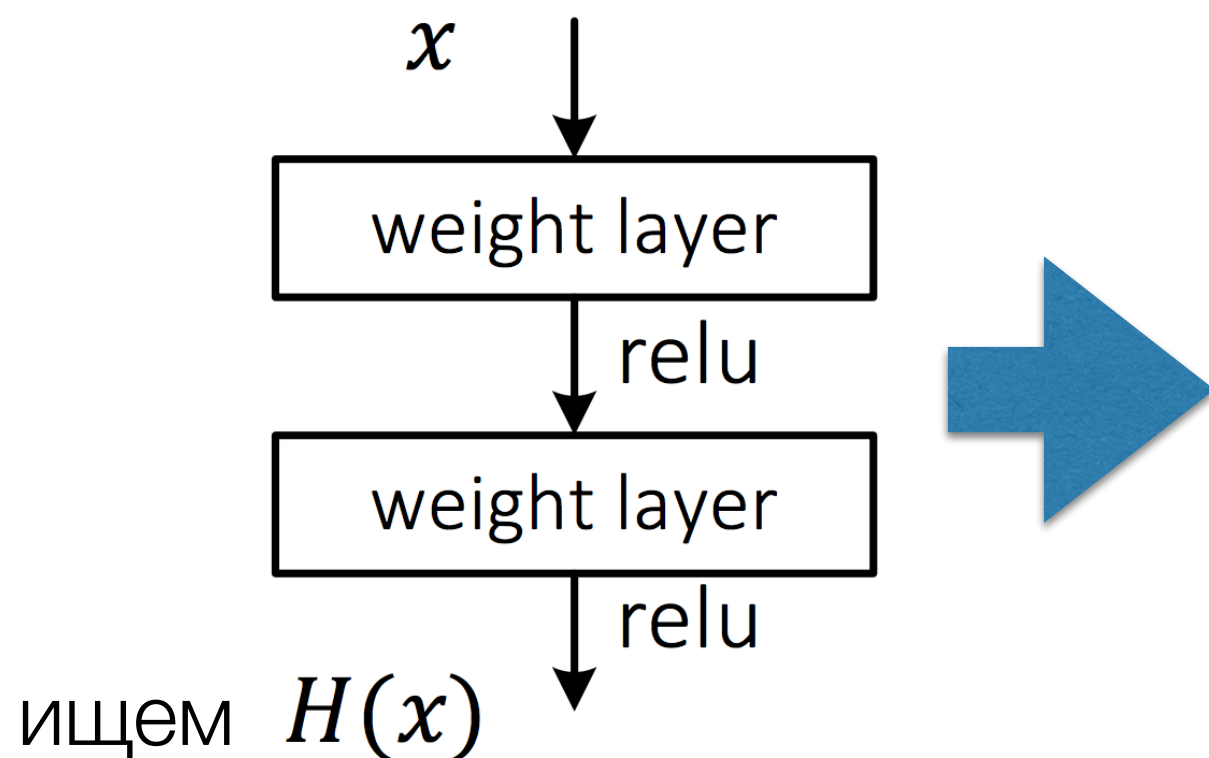
Решения:

- Альтернативные функции активации
- Остаточные (residual) слои
- Уменьшение числа весов за счет учета симметрии задачи
 - сверточные сети

Повторение: глубокие нейронные сети, оптимизация

1. Альтернативные функции активации
2. Остаточные (residual) слои
3. Уменьшение числа весов за счет учета симметрии задачи

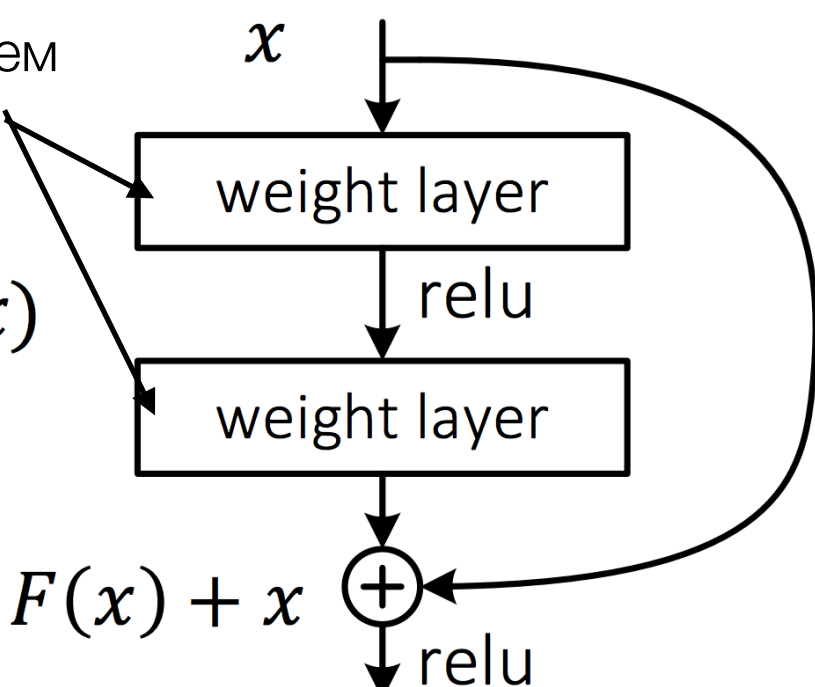
Пусть есть готовая обученная сеть x и мы хотим ее улучшить, добавив два дополнительных промежуточных слоя. Итоговая сеть $H(x)$:



ищем веса нулями

ищем $F(x)$

$$H(x) = F(x) + x$$



Учет симметрии.

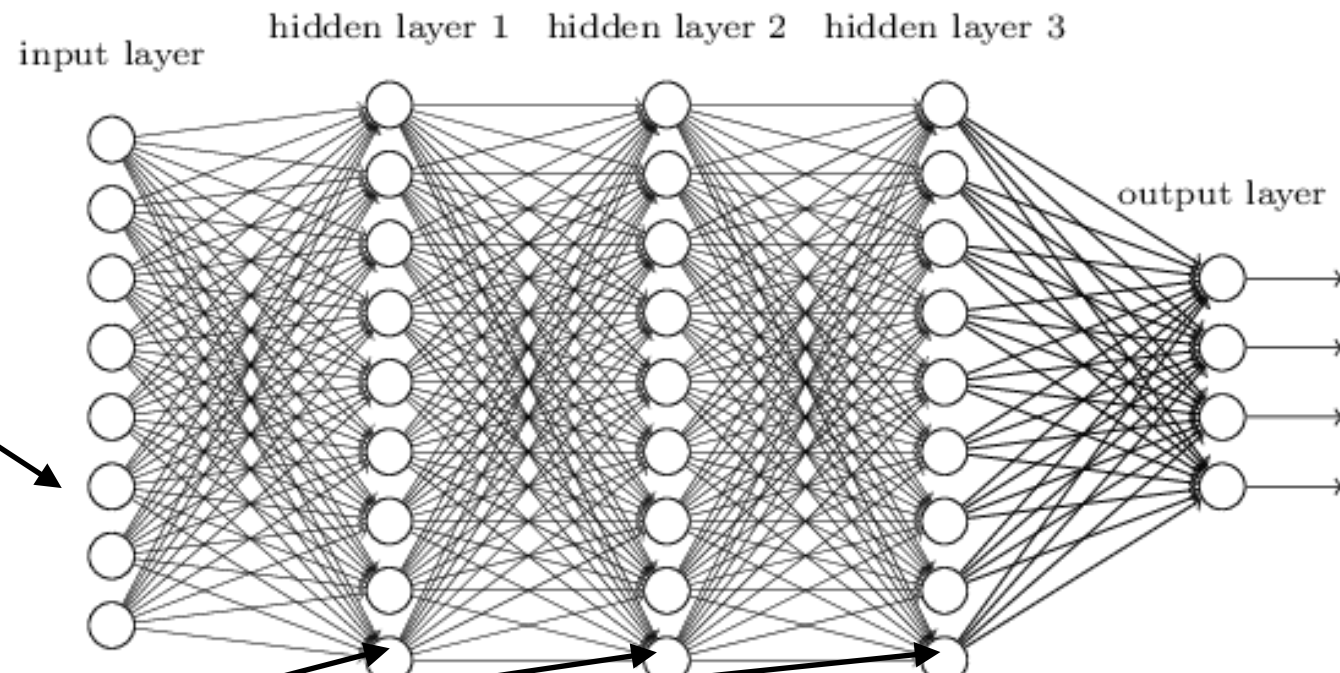
Самый яркий пример - сверточные сети

применяются для анализа изображений, временных рядов и т.п..

важное свойство: трансляционная инвариантность (см. дальше)

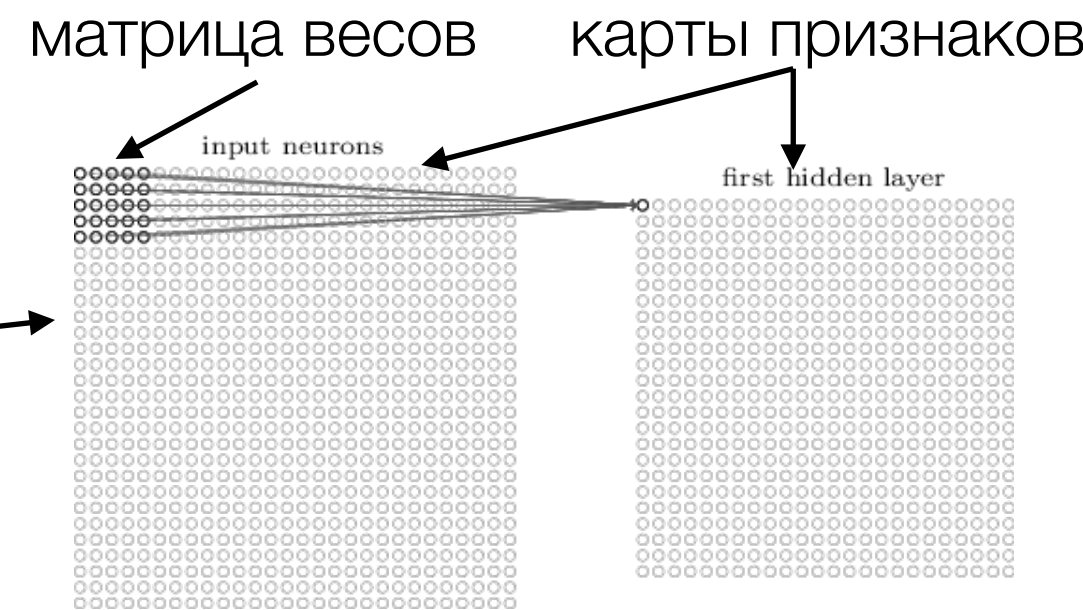
MLP

исходные
признаки



Convnet

признак
яркость
в пикселе



- нейрон скрытого слоя связан только с группой соседних нейронов внешнего слоя
- матрица весов (ядро фильтра) совпадает для всех нейронов

Повторение: сверточные слои

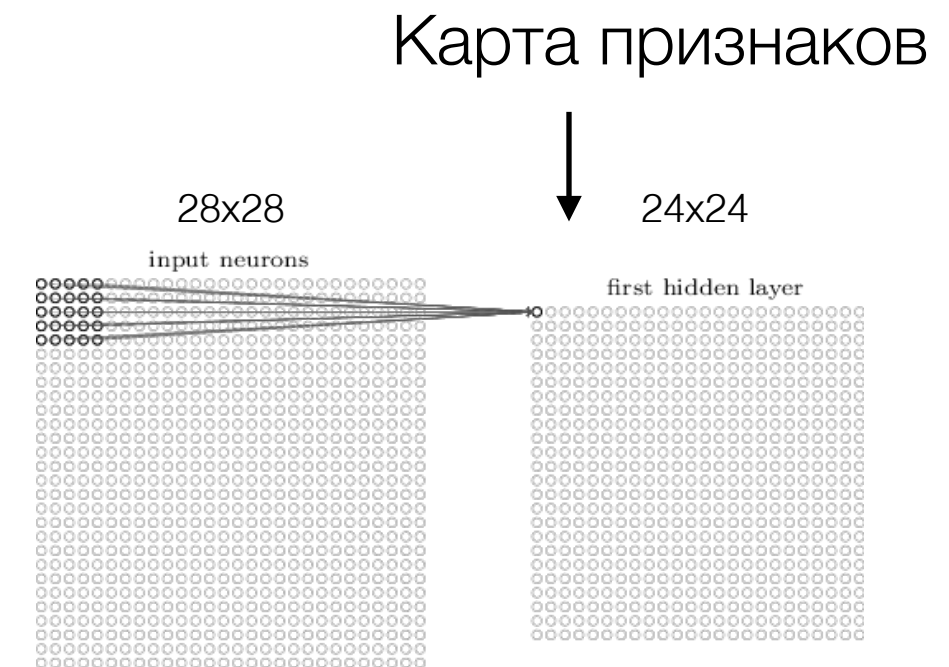
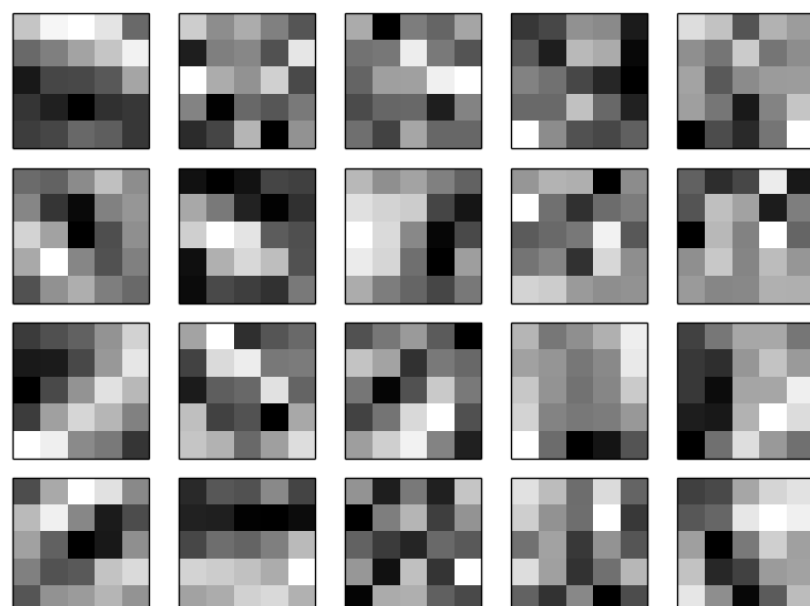
- Математически эквивалентен полносвязанному слою где большинство весов нули, а остальные повторяются
- Число независимых весов:

$5 \times 5 \times N$ против $28 \times 28 \times 24 \times 24$

N - число карт признаков

Примеры фильтров (MNIST):

(цвет кодирует вес)



Параметры сверточного слоя:

- Размер ядра
- Шаг (stride)
- Заполнение (padding): same/valid

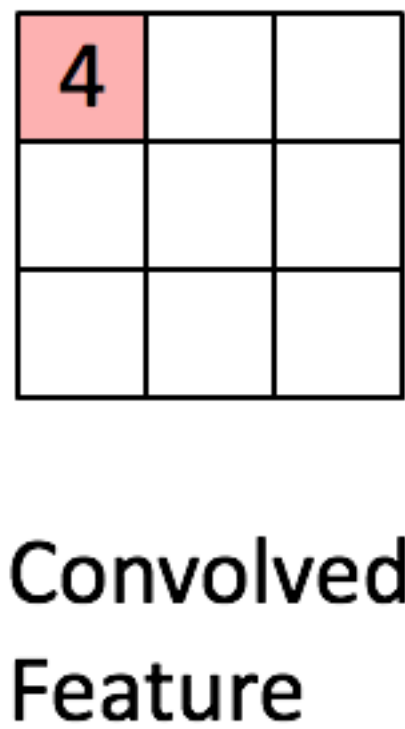
Повторение: сверточные слои

Как это работает:

1.padding: 'valid' (без заполнения)

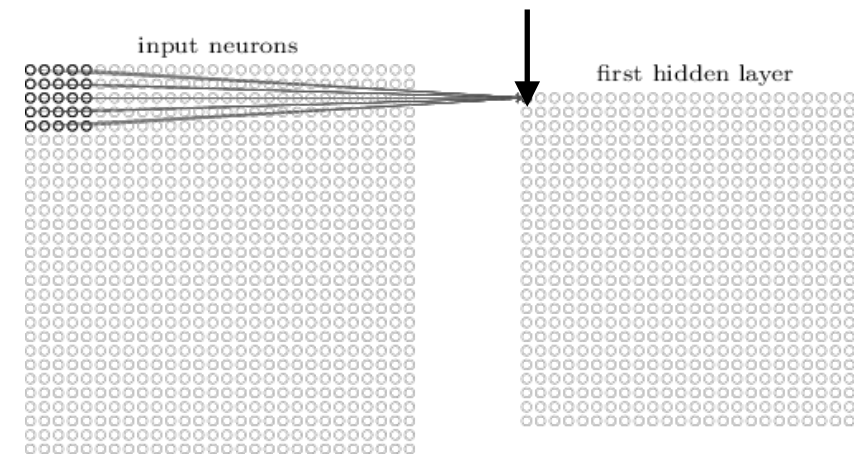
1 <small>$\times 1$</small>	1 <small>$\times 0$</small>	1 <small>$\times 1$</small>	0	0
0 <small>$\times 0$</small>	1 <small>$\times 1$</small>	1 <small>$\times 0$</small>	1	0
0 <small>$\times 1$</small>	0 <small>$\times 0$</small>	1 <small>$\times 1$</small>	1	1
0	0	1	1	0
0	1	1	0	0

Image



Convolved
Feature

$$\sigma \left(b + \sum_{l=0}^4 \sum_{m=0}^4 w_{l,m} a_{j+l, k+m} \right)$$



- размер карты признаков меньше исходного изображения
- пиксели на краях дают меньший вклад в карту признаков

Повторение: сверточные слои

Как это работает:

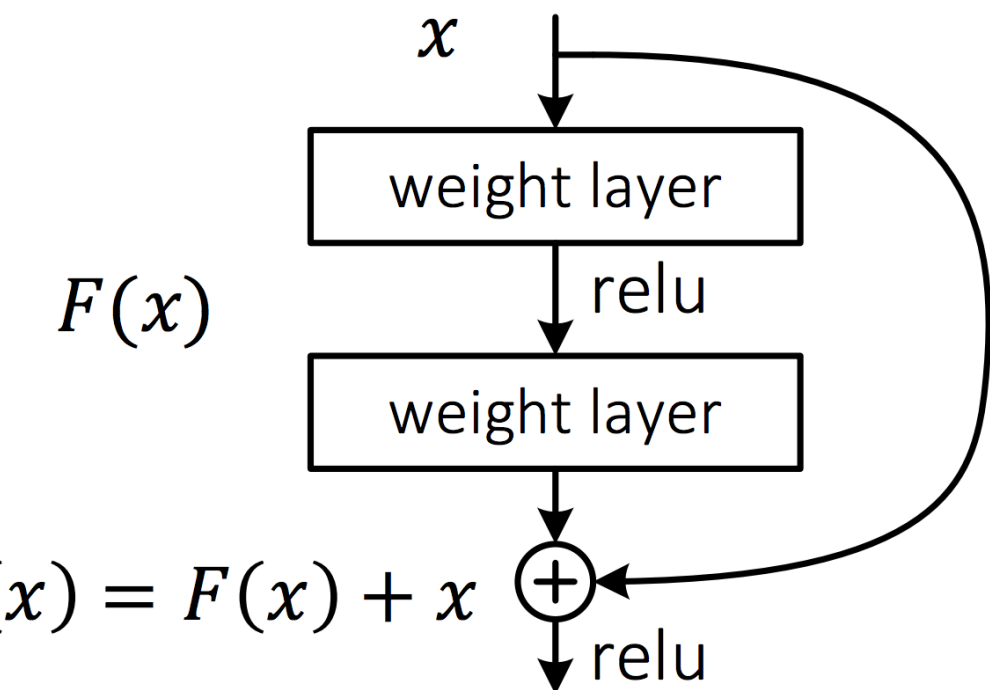
1.padding: ‘valid’ (без заполнения)

1 <small>$\times 1$</small>	1 <small>$\times 0$</small>	1 <small>$\times 1$</small>	0	0
0 <small>$\times 0$</small>	1 <small>$\times 1$</small>	1 <small>$\times 0$</small>	1	0
0 <small>$\times 1$</small>	0 <small>$\times 0$</small>	1 <small>$\times 1$</small>	1	1
0	0	1	1	0
0	1	1	0	0

Image

4		

Convolved
Feature



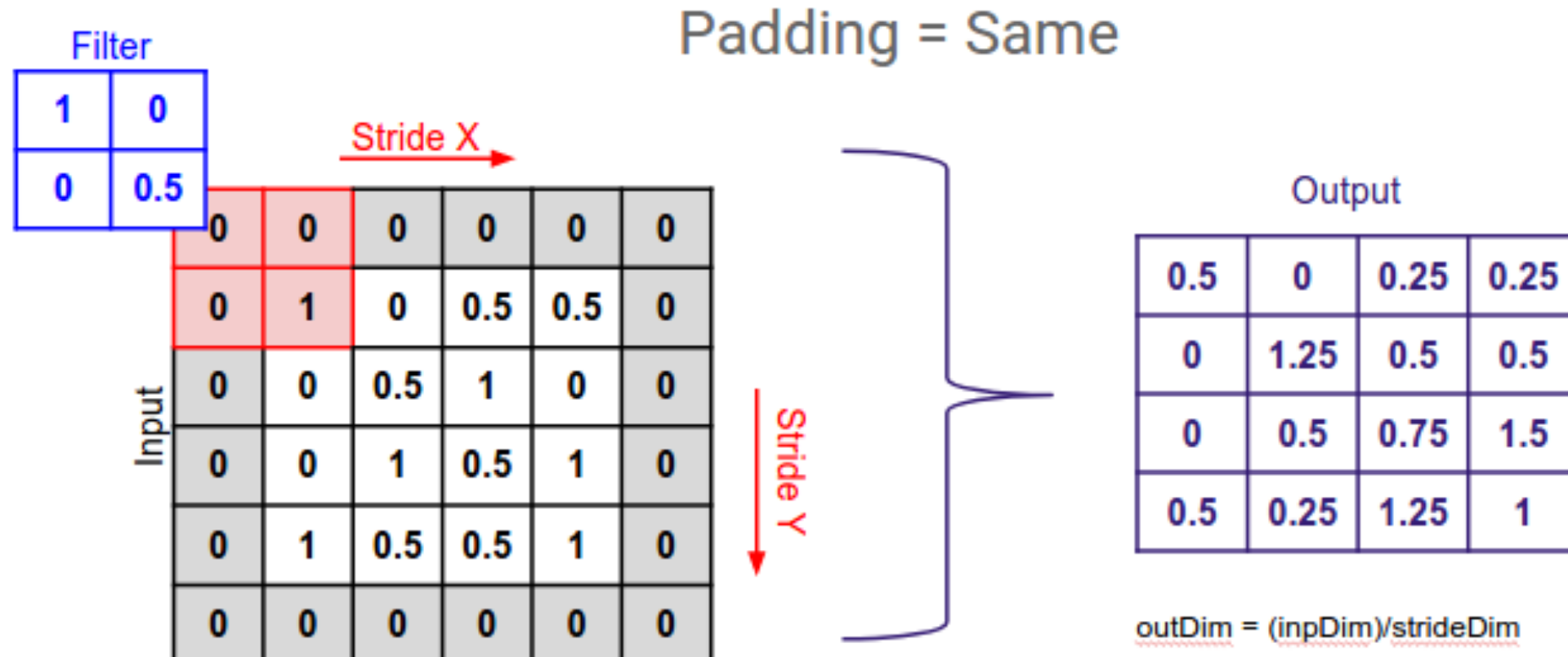
непригодно для
остаточных сетей

- размер карты признаков меньше исходного изображения
- пиксели на краях дают меньший вклад в карту признаков

Повторение: сверточные слои

Как это работает:

2.padding: 'same' (с заполнением)



Повторение: сверточный слой

обобщение на произвольное количество карт признаков в слое

0	0	0	0	0	0	...
0	156	155	156	158	158	...
0	153	154	157	159	159	...
0	149	151	155	158	159	...
0	146	146	149	153	158	...
0	145	143	143	148	158	...
...

Input Channel #1 (Red)

0	0	0	0	0	0	...
0	167	166	167	169	169	...
0	164	165	168	170	170	...
0	160	162	166	169	170	...
0	156	156	159	163	168	...
0	155	153	153	158	168	...
...

Input Channel #2 (Green)

0	0	0	0	0	0	...
0	163	162	163	165	165	...
0	160	161	164	166	166	...
0	156	158	162	165	166	...
0	155	155	158	162	167	...
0	154	152	152	157	167	...
...

Input Channel #3 (Blue)

-1	-1	1
0	1	-1
0	1	1

Kernel Channel #1

1	0	0
1	-1	-1
1	0	-1

Kernel Channel #2

0	1	1
0	1	0
1	-1	1

Kernel Channel #3

↓
308

+

↓
-498

+

↓
164 + 1 = -25

↑
Bias = 1

-25				...
				...
				...
				...
...

$$a_{d,m,n}^{l+1} = \sigma(b_d + \sum_{c,\alpha,\beta} W_{dc\alpha\beta} a_{c,m\delta_1+\alpha,n\delta_2+\beta}^l)$$

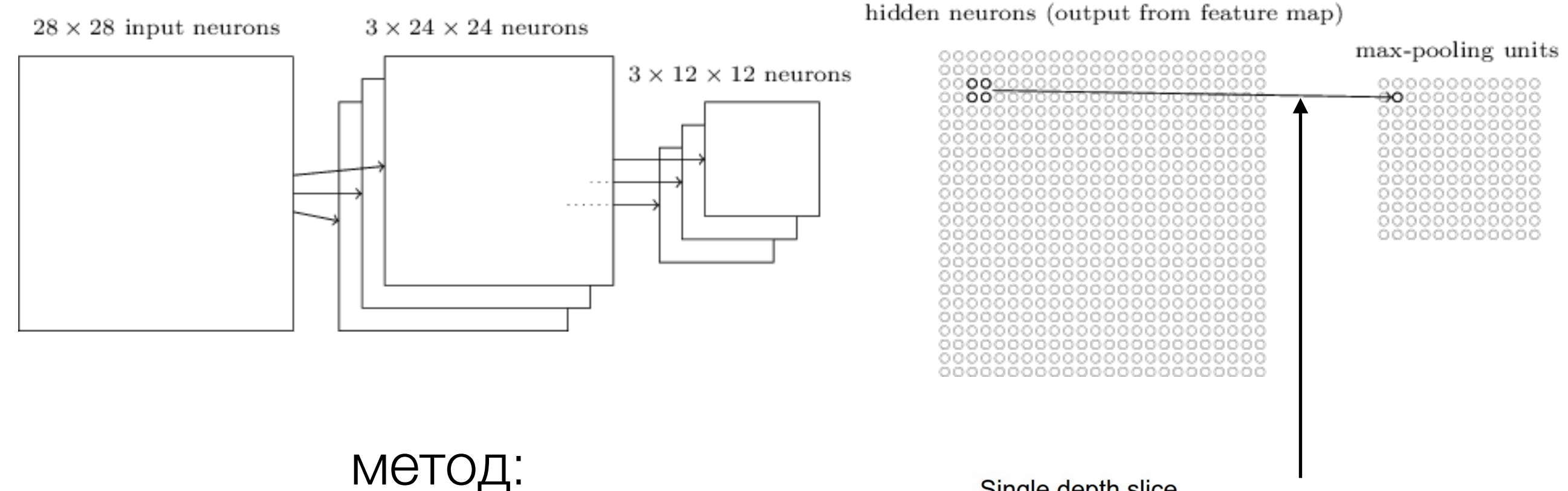
c, d - индексы карт

δ_1 - шаг (stride) по вертикали

δ_2 - шаг по горизонтали

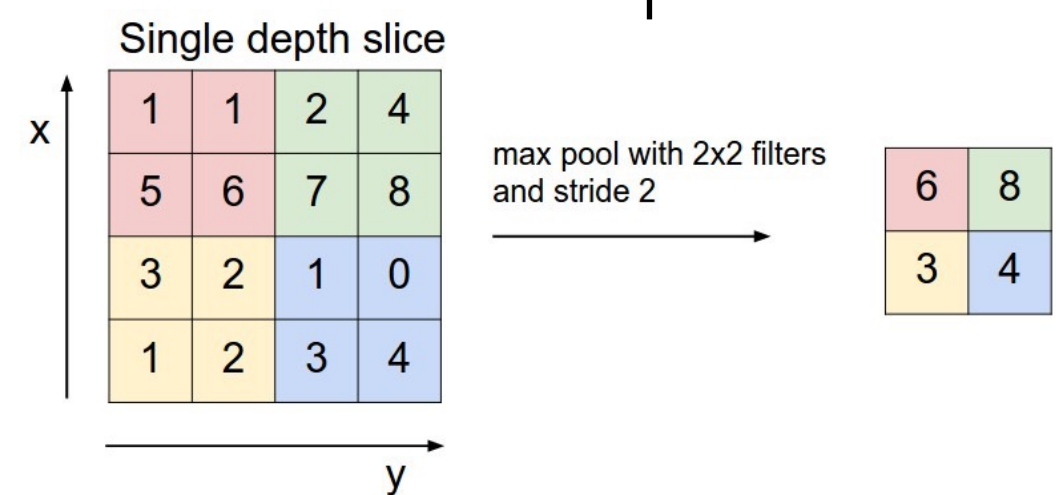
Масштабирующий слой

Извлечение признаки на больших масштабах

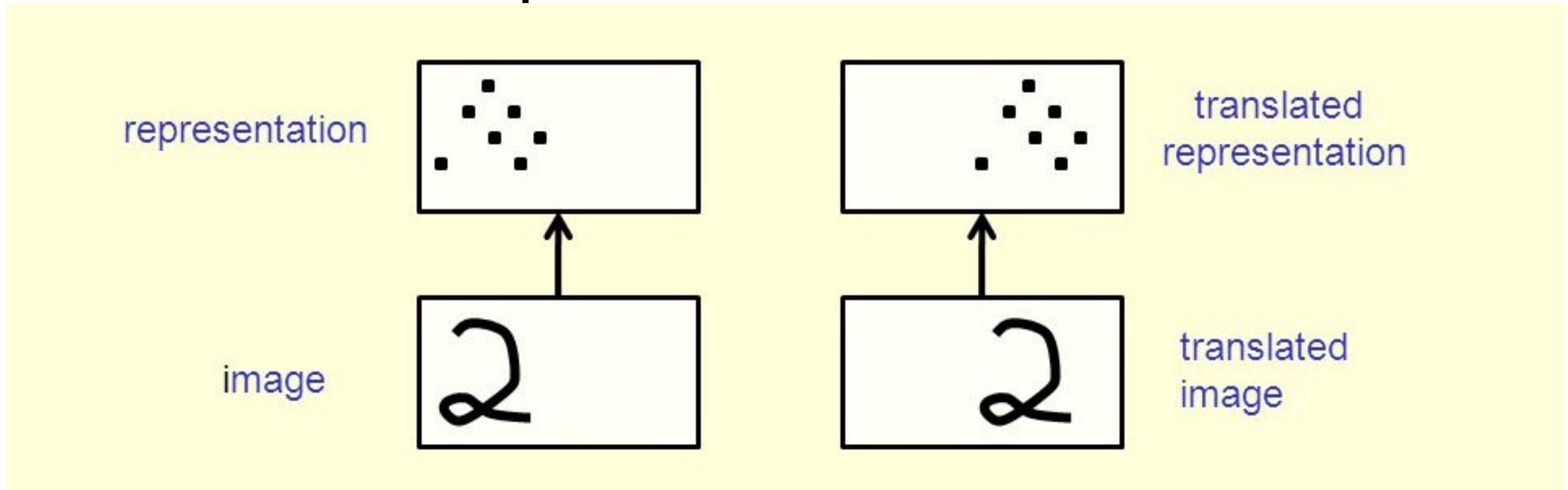


метод:

- максимум
- среднее
- среднеквадратичное
- ...



Трансляционная инвариантность сверточных сетей



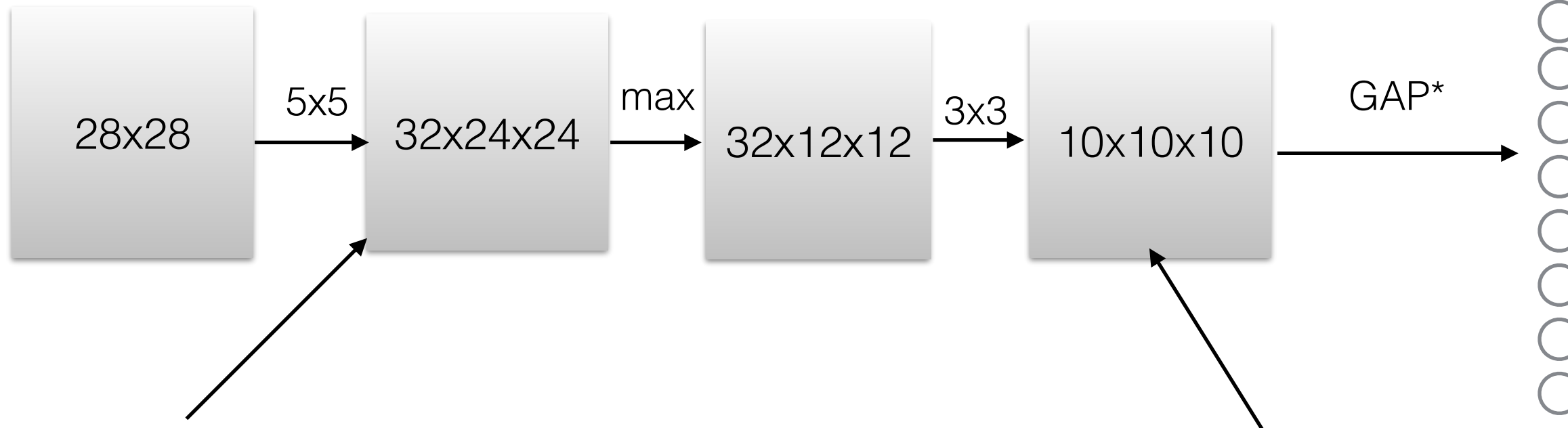
- Операция свертки коммутирует с операцией сдвига
- Результат применения последовательности операций свертки и масштабирования (MaxPool) инвариантен относительно небольших сдвигов изображения

Задача: продемонстрировать трансляционную инвариантность на примерах MNIST. От чего зависит максимально допустимый сдвиг?

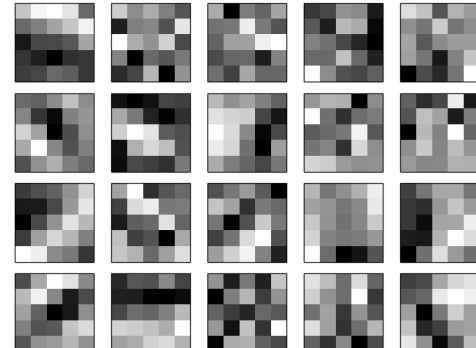
Как увидеть, на каких признаках обучается сверточная нейронная сеть

Задача

- Обучить сверточную нейронную сеть для распознавания рукописных цифр



Визуализировать
фильтры



Для одной цифры из тестового набора, визуализировать активации соответствующего слоя, построив тепловую карту**. Смасштабировать карту до 28x28 и наложить ее на исходное изображение

*GAP- Global average pooling. Реализация в keras: [GlobalAveragePooling2D](#)

**Тепловая карта на seaborn: <https://seaborn.pydata.org/generated/seaborn.heatmap.html>

Оптимизация сверток

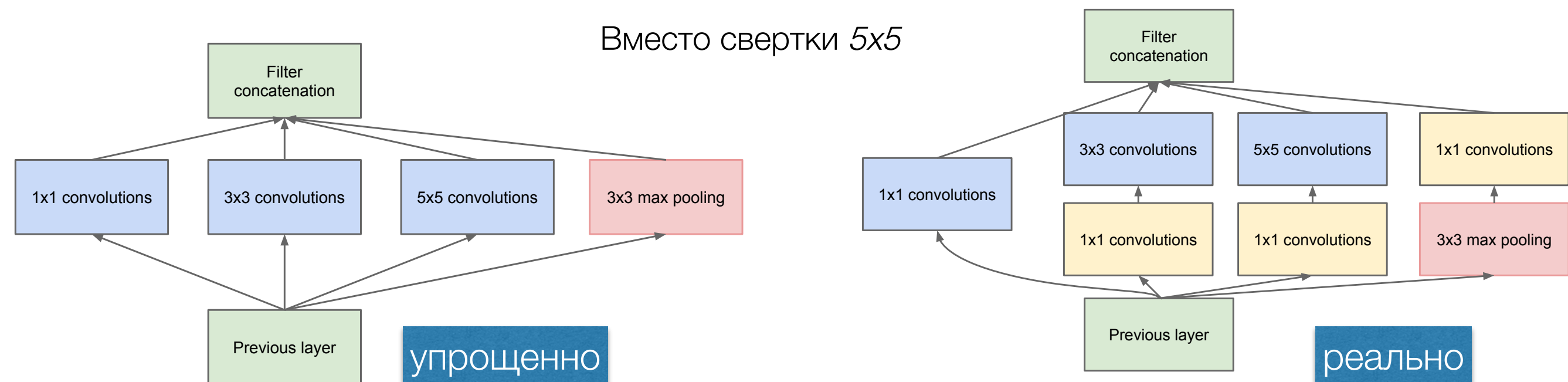
Свертка размером (K, K) имеет $K^2 \times N_1 \times N_2$ весов

где N_1, N_2 - число карт признаков в предыдущем и текущем слоях (может быть большим)

Архитектура ‘Inception’: Szegedy et al 2014, 2015

- прием 1: уменьшаем N_2

Разные признаки относятся к разным масштабам, для большинства признаков веса могут задаваться матрицей меньшего размера



Оптимизация сверток

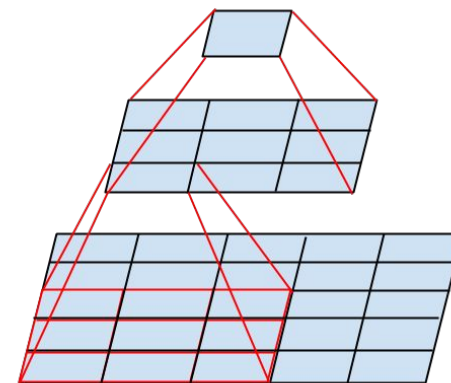
Свертка размером (K, K) имеет $K^2 \times N_1 \times N_2$ весов

где N_1, N_2 - число карт признаков в предыдущем и текущем слоях

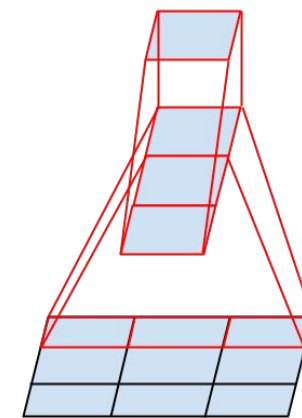
Архитектура ‘Inception’: Szegedy et al 2014, 2015

- прием 2: уменьшаем K

В реальных данных сигналы соседних нейронов коррелируют
Можно заменить большую свертку последовательностью
небольших, что позволит уменьшить общее число весов



каков выигрыш в
количестве весов?



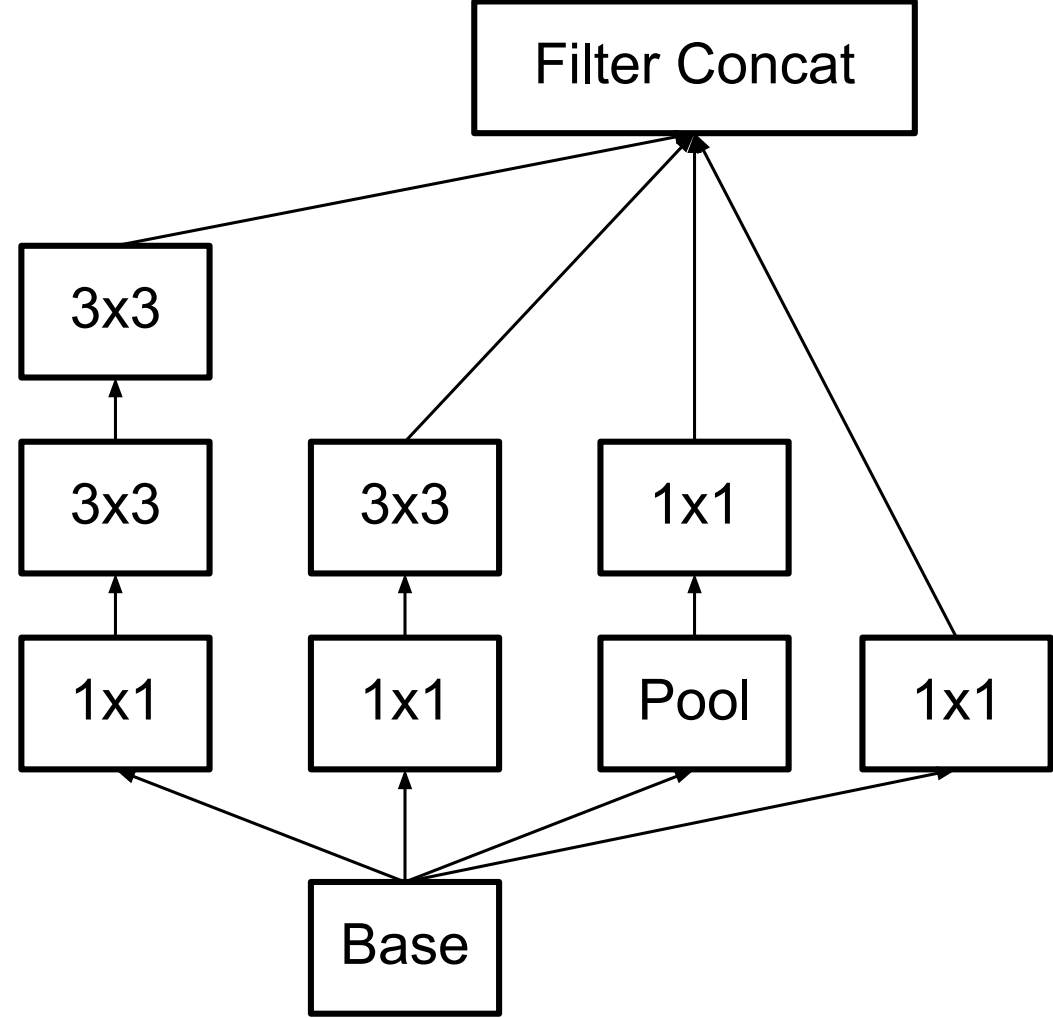
две свертки 3x3 вместо одной 5x5

3x1 и 1x3 вместо одной 3x3

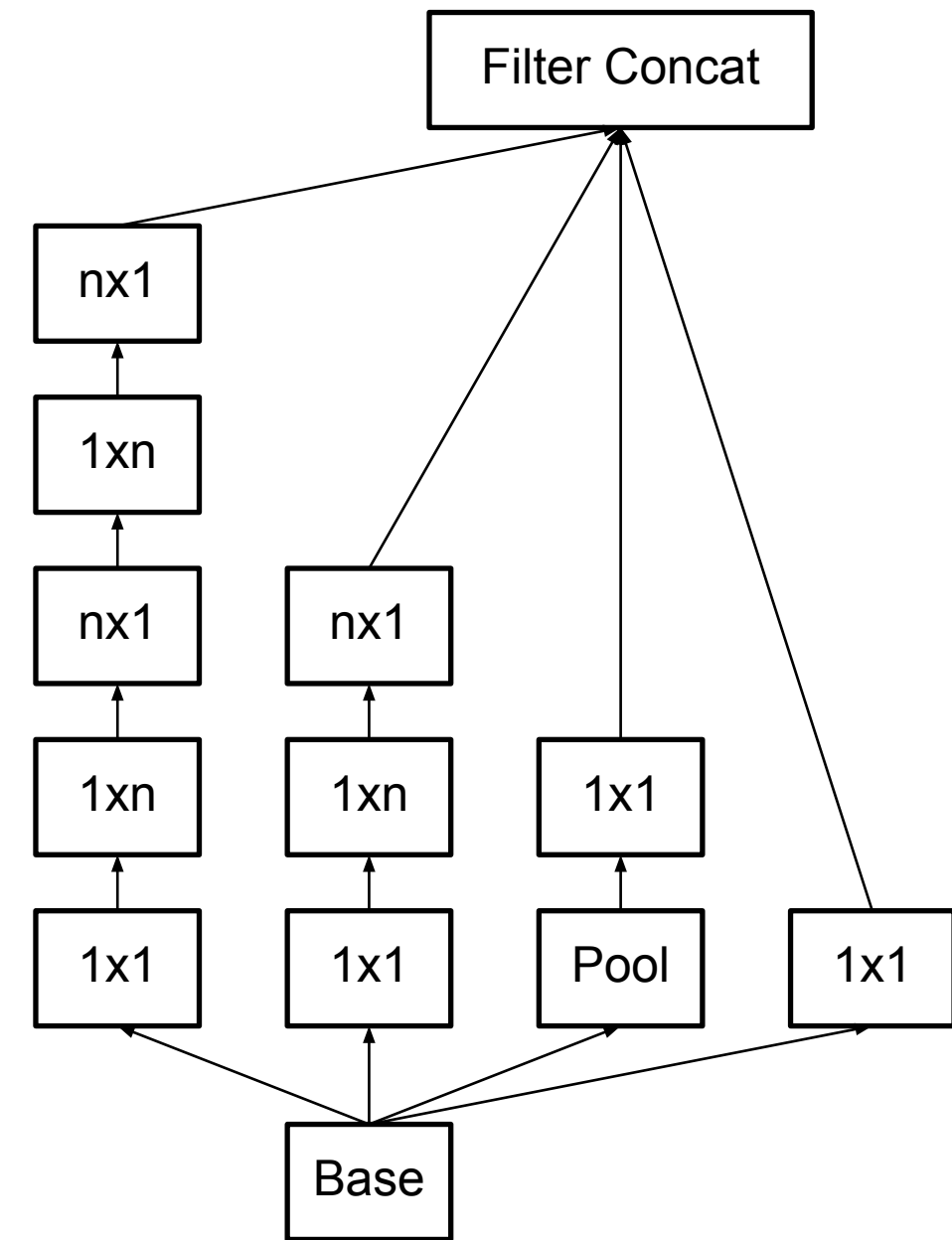
Оптимизация сверток

Архитектура ‘Inception’: Szegedy et al 2014, 2015

Комбинируем приемы 1 и 2:



вместо 5×5

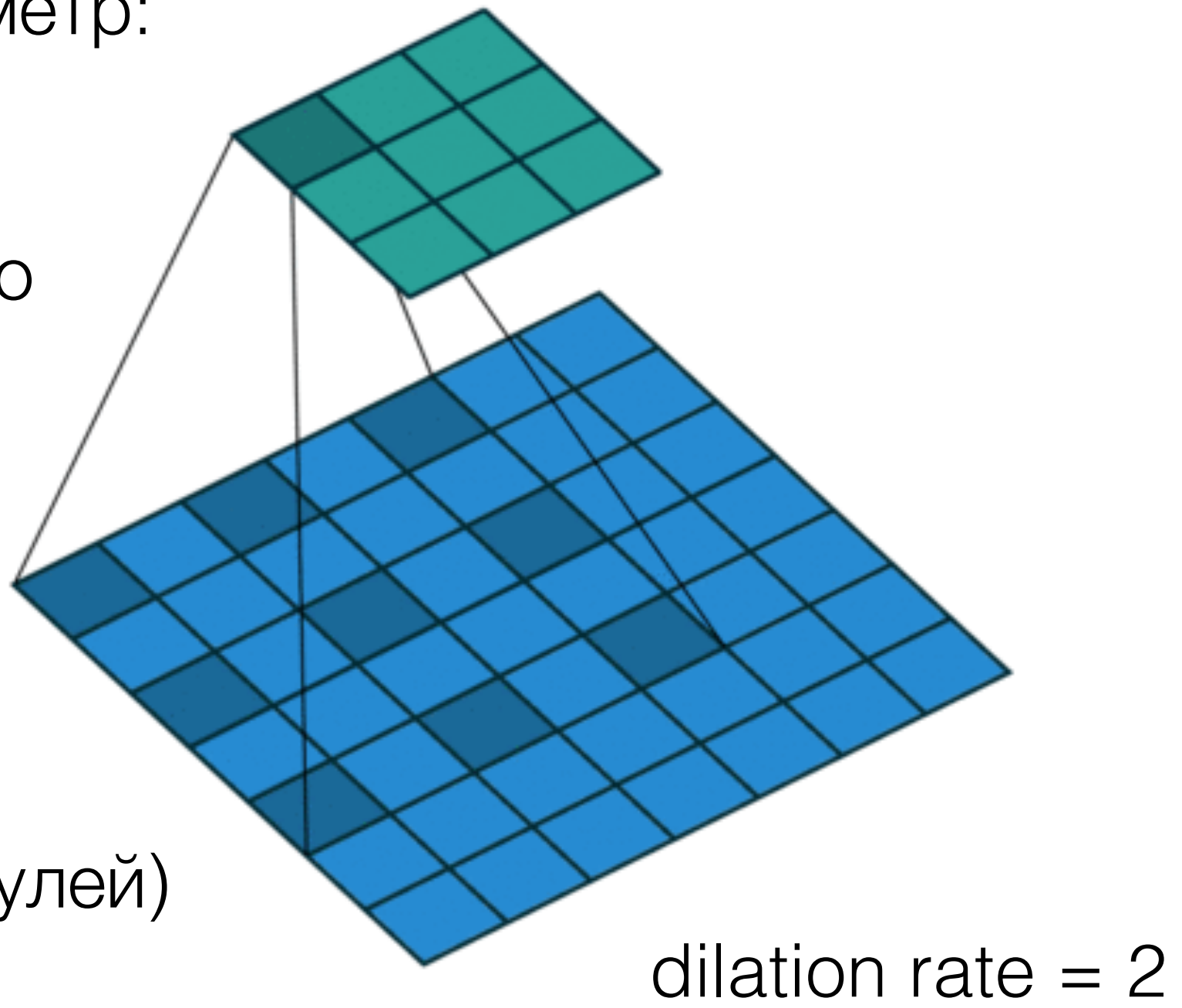


вместо $n \times n, n > 5$

Свертки специального вида

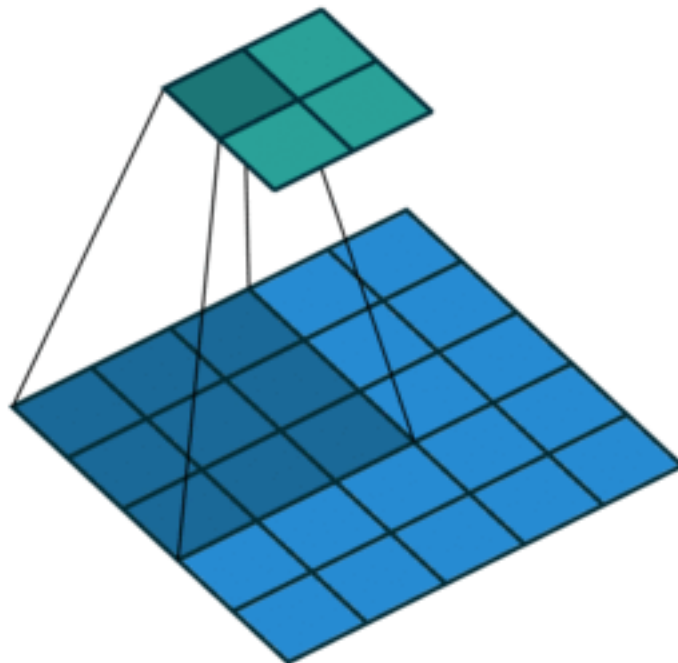
Разреженные (dilated)

- Дополнительный параметр:
уровень разреживания
(dilation rate) L
- Позволяют эффективно
вычислять карты
крупномасштабных
признаков

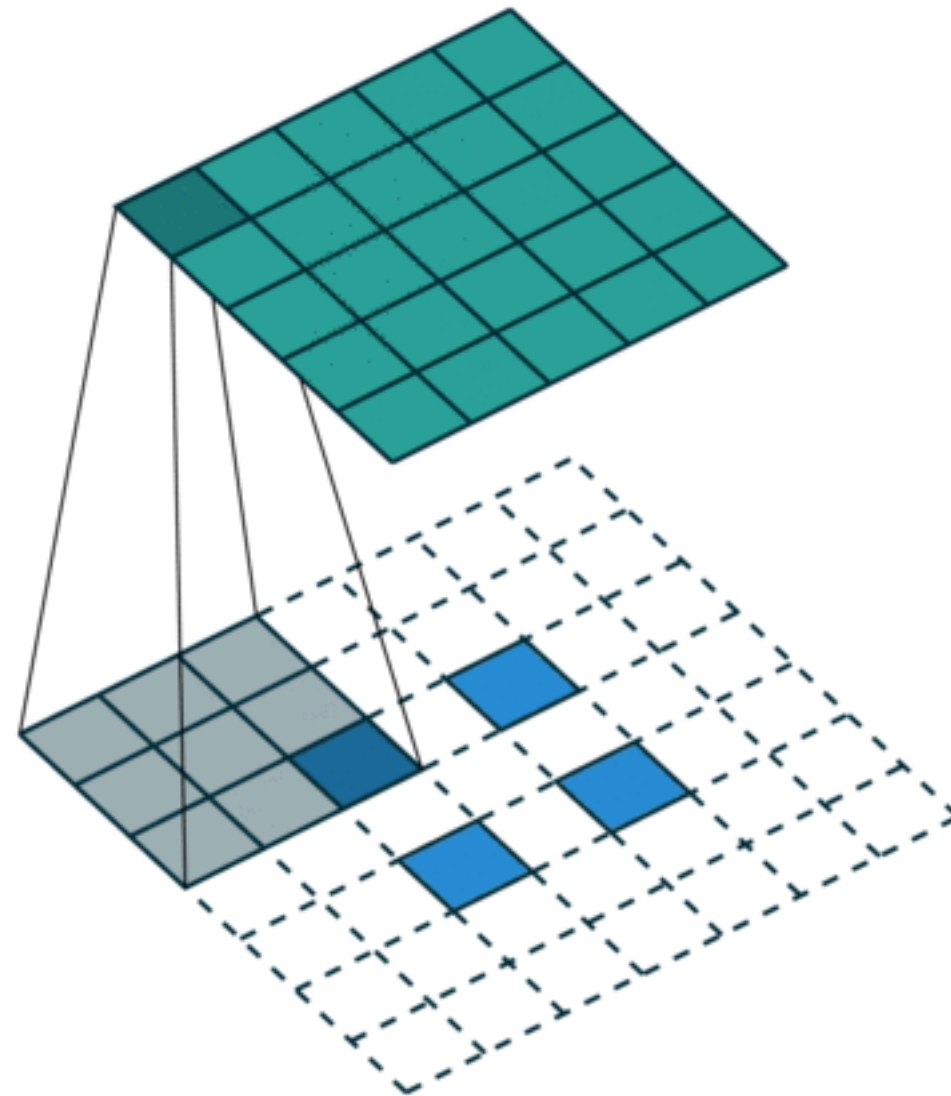


Свертки специального вида

Транспонированные (transposed)



Обычная свертка
Padding: valid
Stride: 2



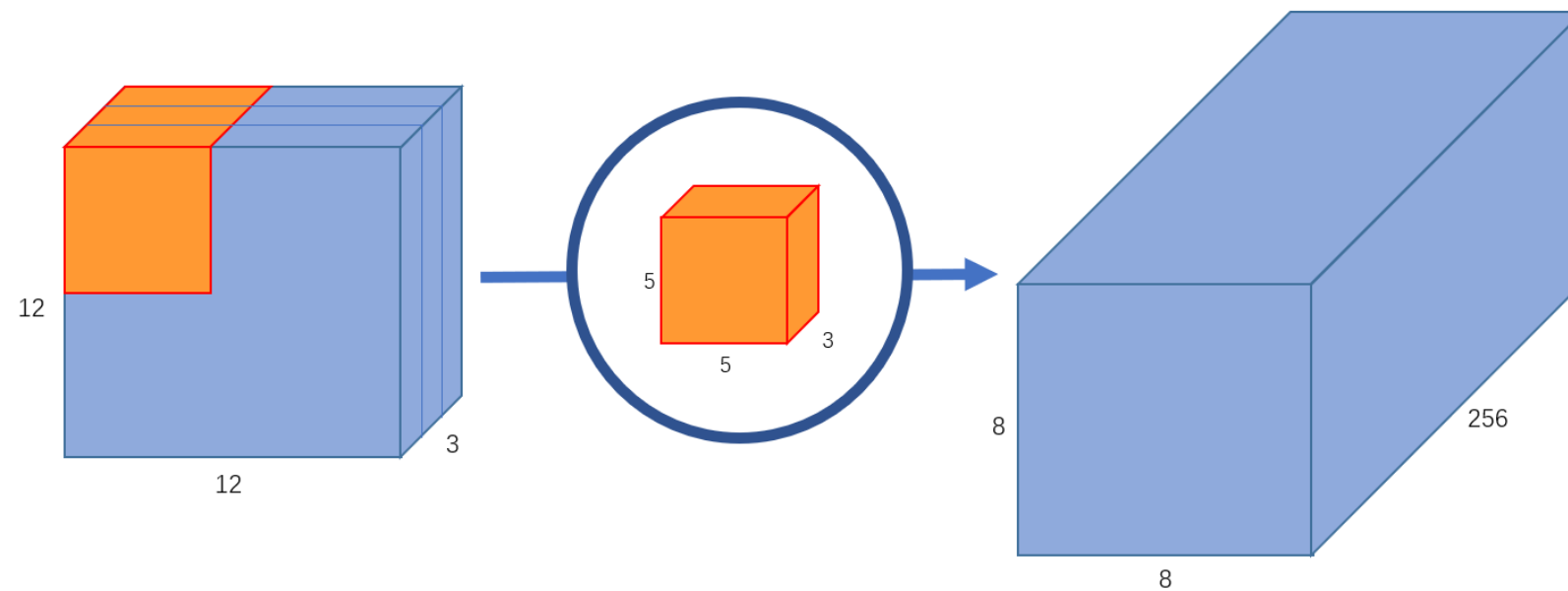
используется для увеличения размера карты признаков, например в генеративных моделях

Свертки специального вида

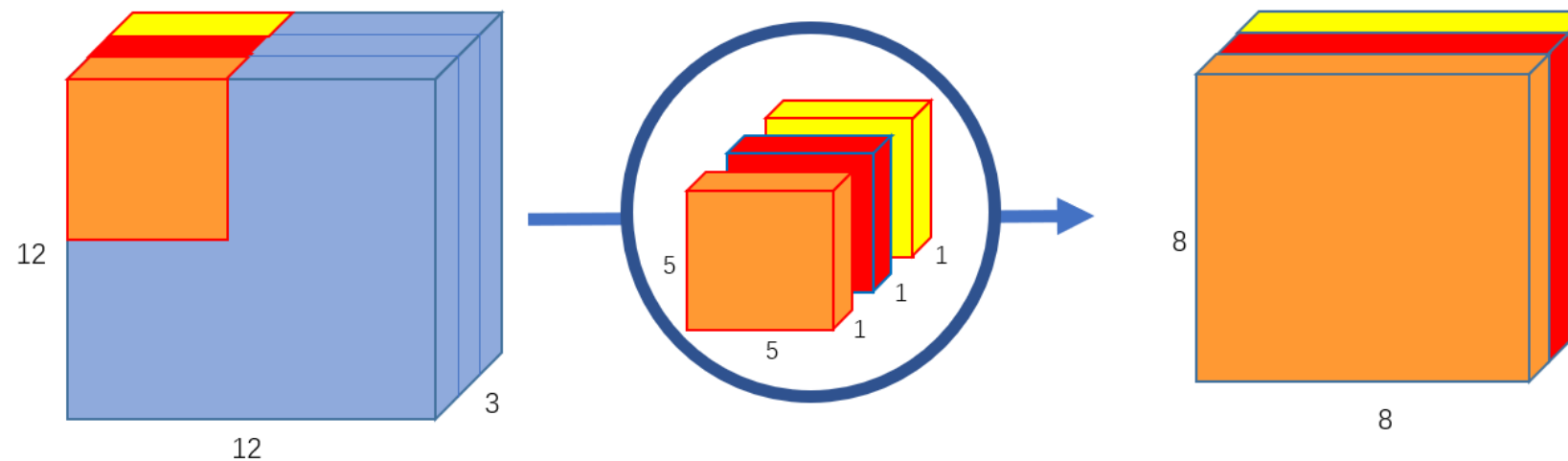
Depthwise separable convolutions

разделимые по признакам

см. архитектура Xception (François Chollet, автор Keras)



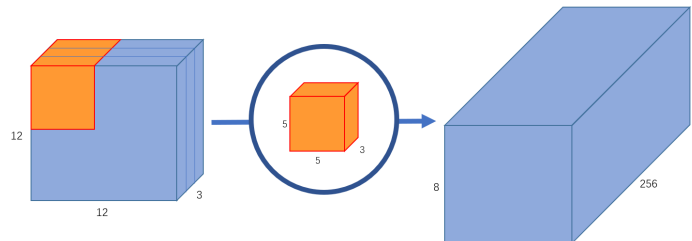
Ядро стандартной
свертки
 $5 \times 5 \times 3 \times 256$



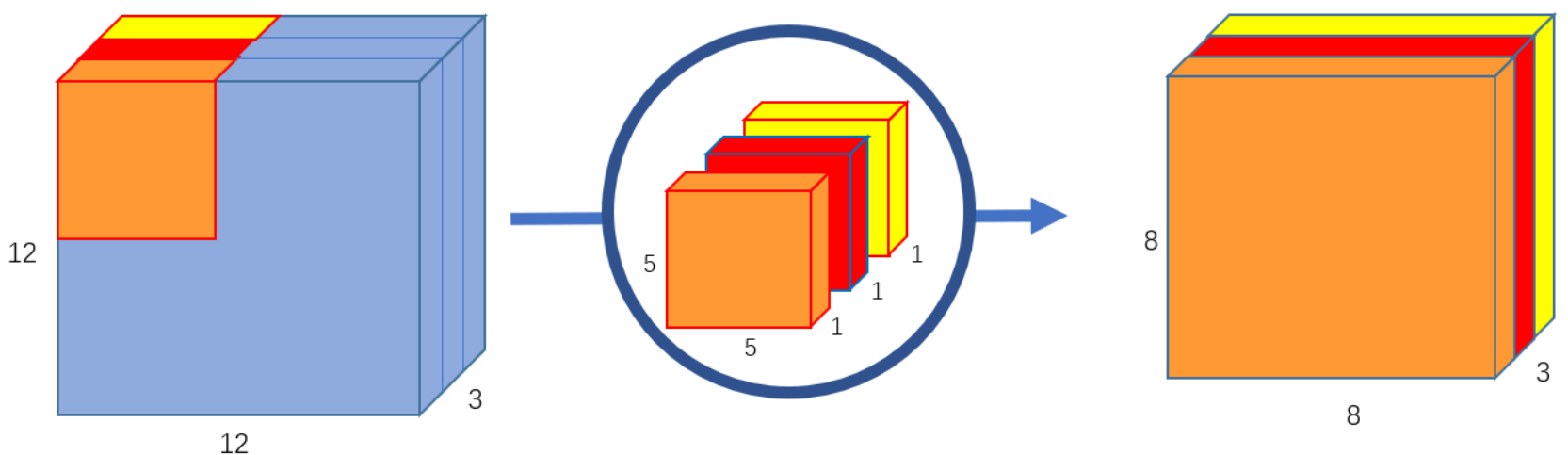
шаг 1
(пространственная
свертка):
ядро $5 \times 5 \times 3$

Types of Convolutions in Deep Learning

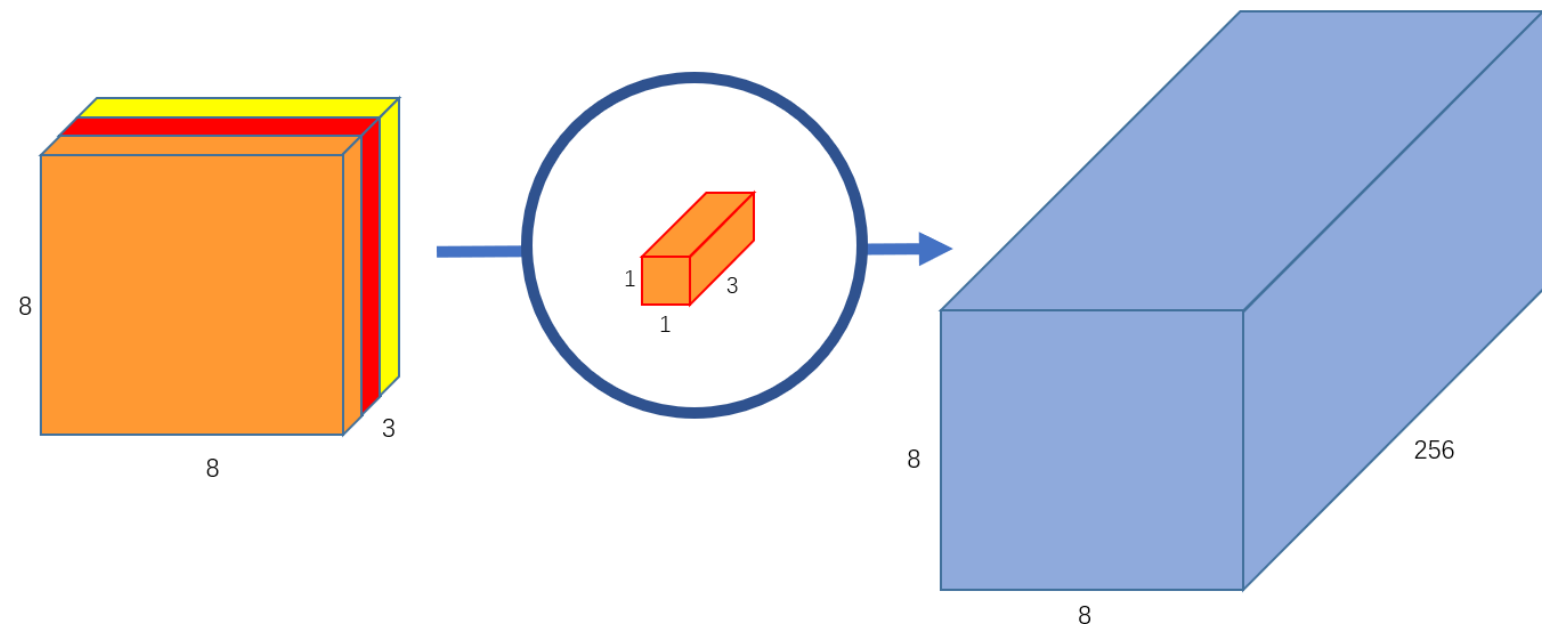
Depthwise separable convolutions



Ядро стандартной свертки
 $5 \times 5 \times 3 \times 256$



шаг 1 (пространственная свертка): ядро $5 \times 5 \times 3$



шаг 2:
ядро $1 \times 1 \times 3 \times 256$

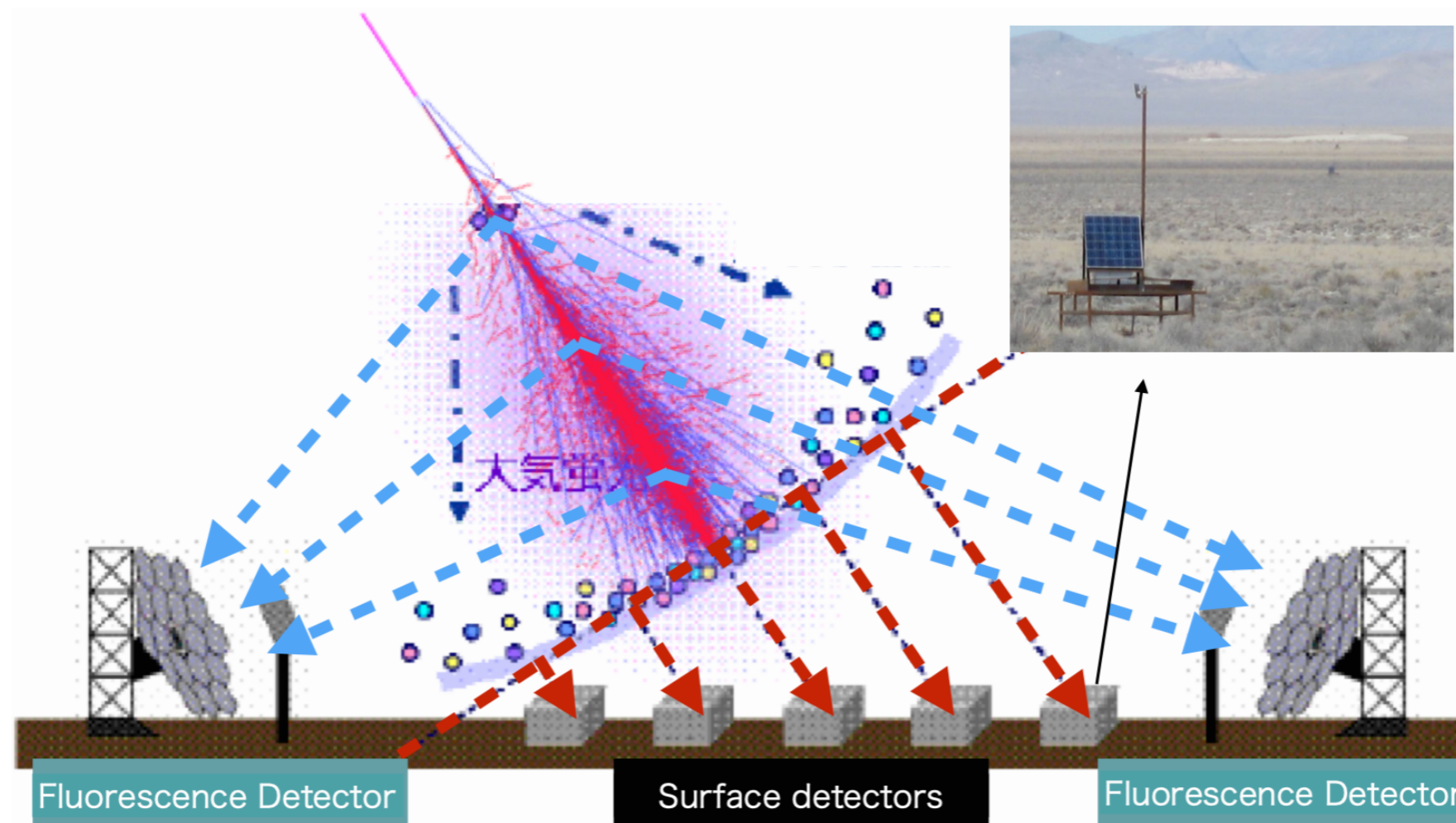
Сравнение:

1228800 умножений против $3 \times 5 \times 5 \times 8 \times 8 + 256 \times 1 \times 1 \times 3 \times 8 \times 8 = 53952$

Пример применения сверточных нейронных сетей в астрофизике частиц

Реконструкция свойств первичных частиц по данным
наземной решетки детекторов

Kalashev et al 2019, Ivanov et al 2020

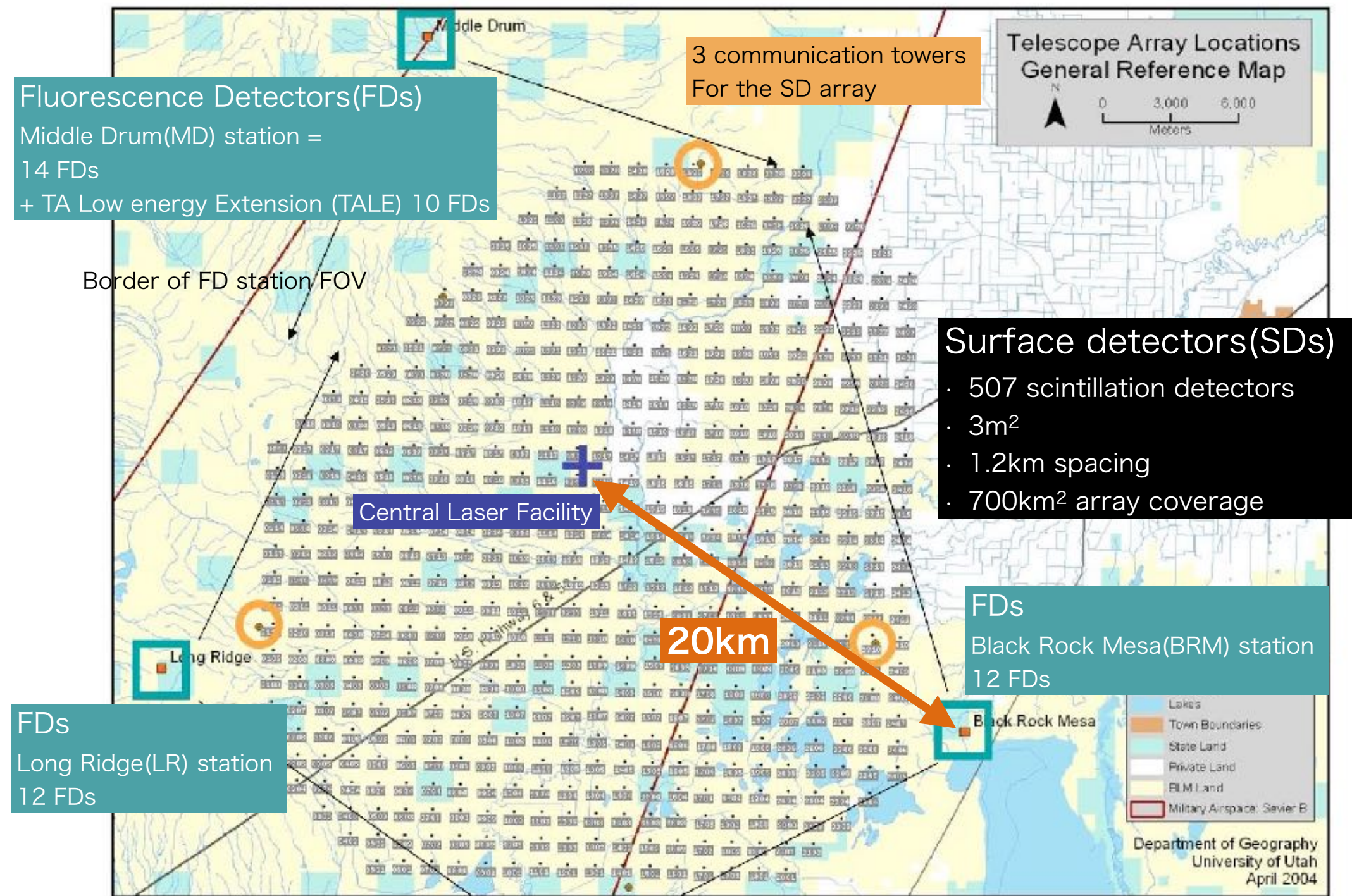


Telescope Array

- Самый большой эксперимент в северном полушарии (Юта, США).



USA,
Russia,
Japan,
Korea,
Belgium



Аналитическая реконструкция

- LDF - эмпирическое распределение плотности ливня

$$f(r) = \left(\frac{r}{R_m}\right)^{-1.2} \left(1 + \frac{r}{R_m}\right)^{-(\eta-1.2)} \left(1 + \frac{r^2}{R_1^2}\right)^{-0.6}$$

$$R_m = 90.0 \text{ м}, R_1 = 1000 \text{ м}, R_L = 30 \text{ м}, \eta = 3.97 - 1.79 (\sec(\theta) - 1),$$

$$r = \sqrt{(x_{\text{core}} - x)^2 + (y_{\text{core}} - y)^2},$$

- Timing - форма фронта ливня

$$t_r = t_o + t_{\text{plane}} + a \times (1 + r/R_L)^{1.5} LDF(r)^{-0.5}$$

$$LDF(r) = f(r)/f(800 \text{ м}) \quad S(r) = S_{800} \times LDF(r)$$

Свободные параметры:

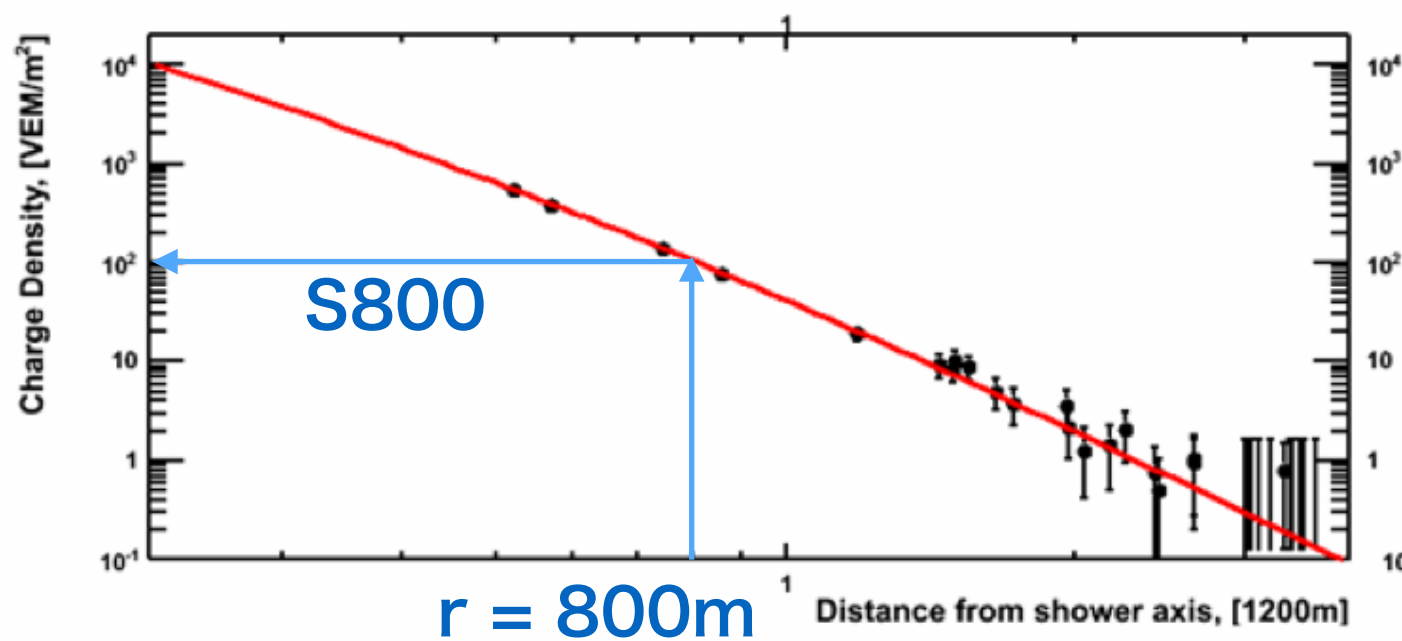
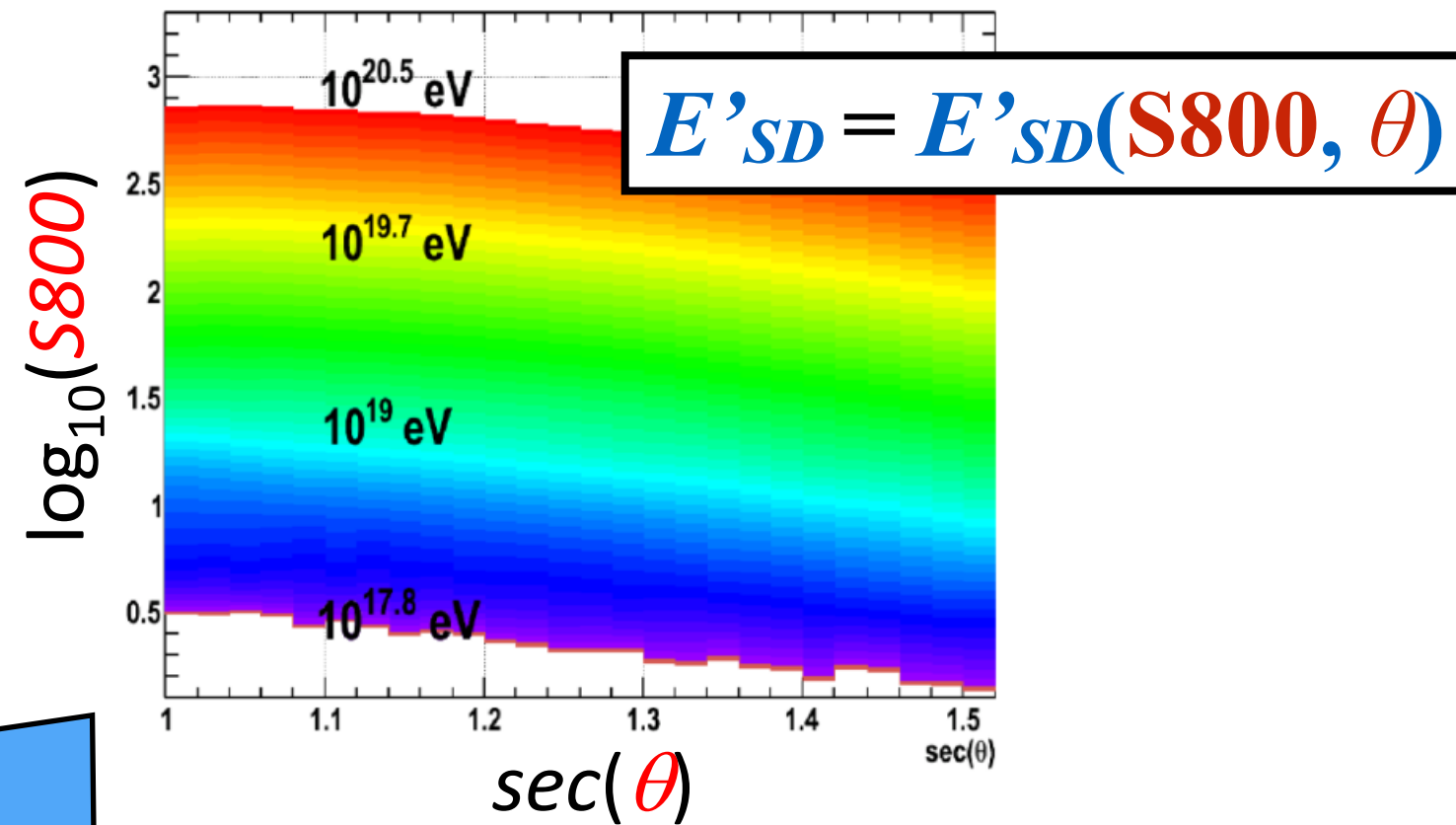
$x_{\text{core}}, y_{\text{core}}, \theta, \phi, S_{800}, t_0, a$

Наблюдаемые:

t_r - время срабатывания детектора
 S_r - интегральный сигнал в детекторе

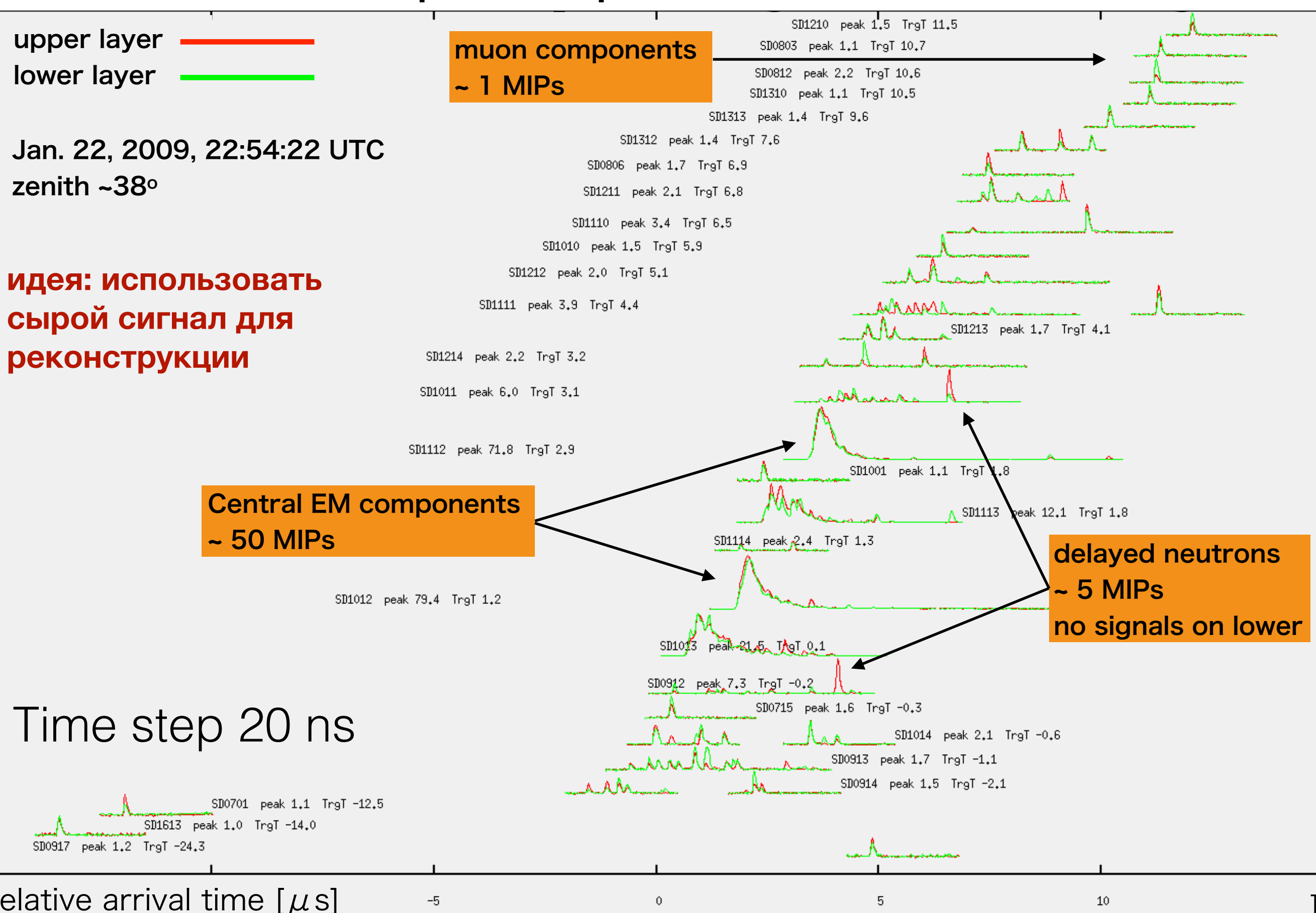
Реконструкция энергии

использует таблицу на основе Монте Карло моделирования



S800 - плотность
ливня на
расстоянии 800
метров от оси

Пример события



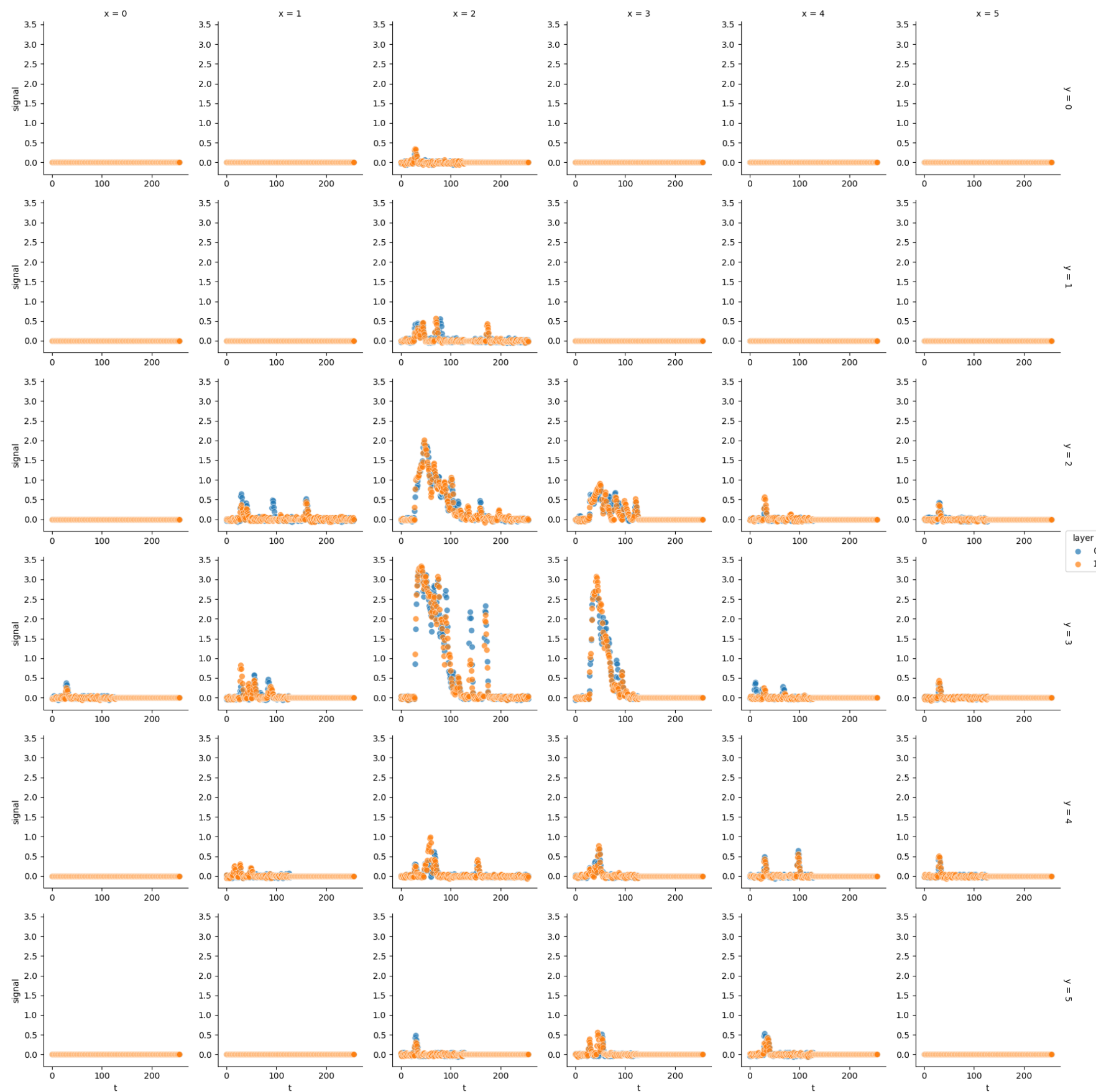
Пример события

сырые данные

Размерность:
 $(N, N, T, 2)$

Waveform
detector
layers

$N=4-8, T=128-256$



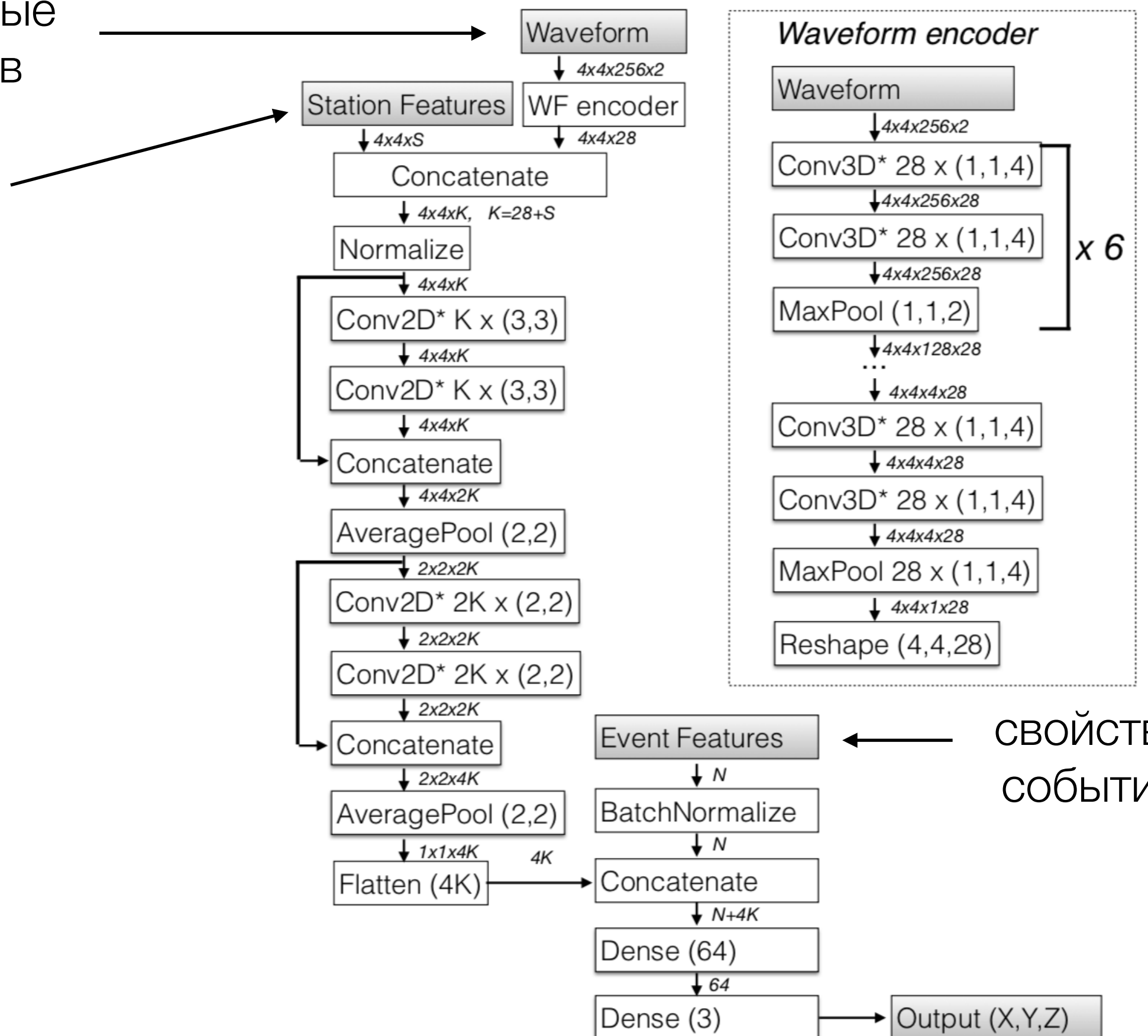
Нейросетевая реконструкция

сырые данные

детекторов

свойства

детекторов



свойства
событий

Сравнение с аналитической реконструкцией

объясненная дисперсия
(explained variance)

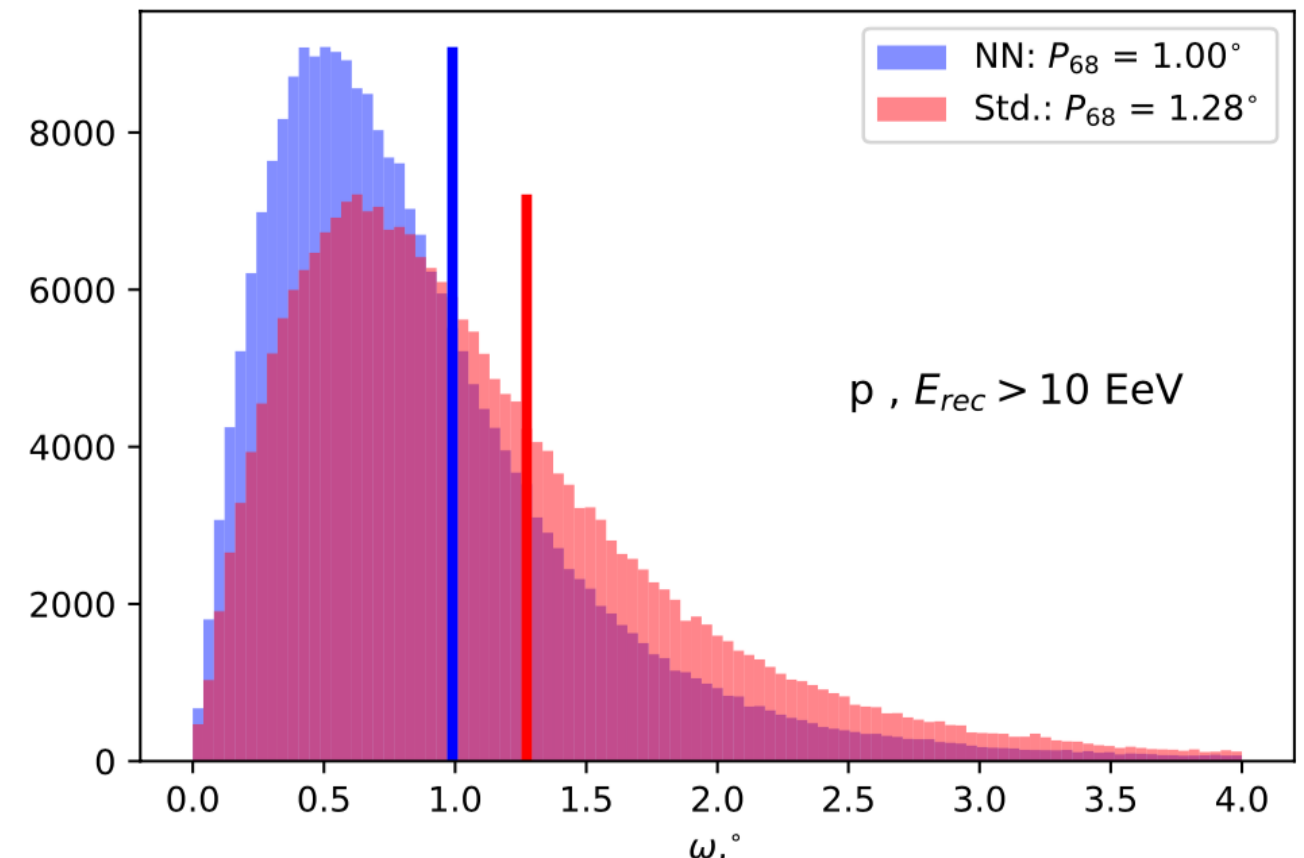
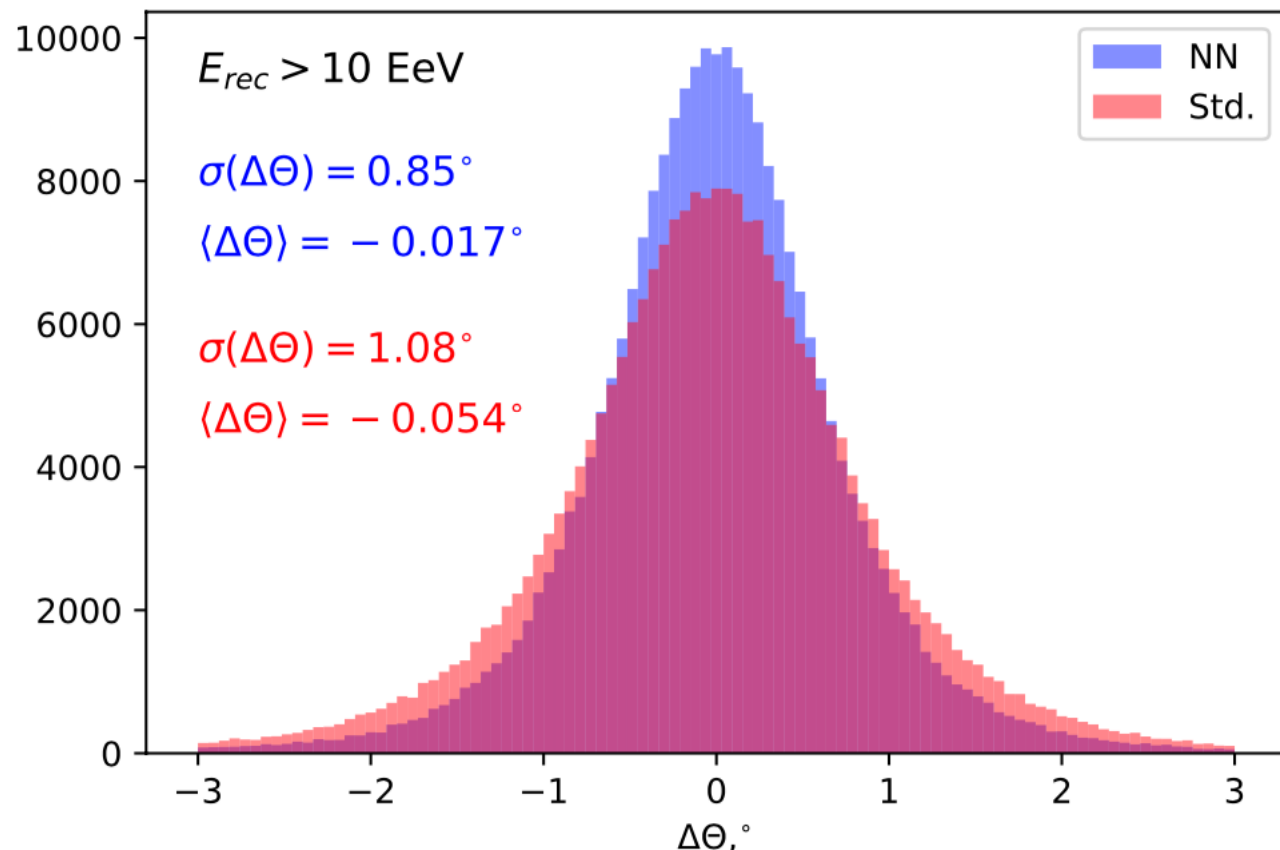
$$EV(y, \hat{y}) = 1 - \frac{Var\{y - \hat{y}\}}{Var\{y\}}$$

y - предсказываемая величина

\hat{y} - наша оценка предсказываемой величины

если y - коррекция к старой реконструкции

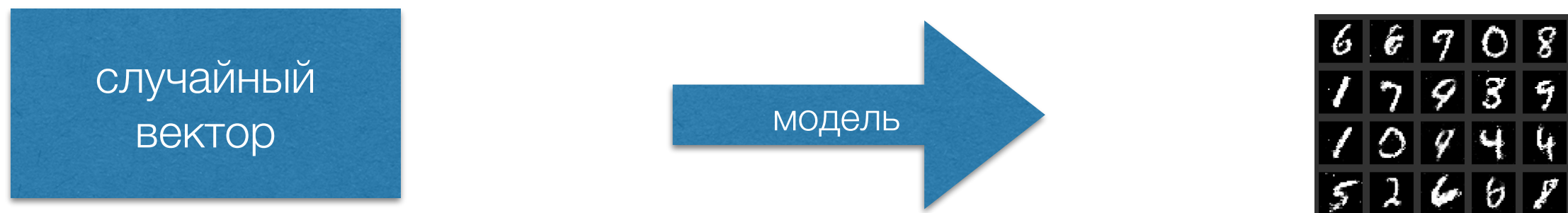
		Waveform	
Event Features		Included	Excluded
Included		0.37	0.22
Excluded		0.30	0.11



Генеративные модели

Задача: генерация реалистичных данных

В идеале: с помощью небольшого количества параметров описать все разнообразие данных



Применение:

- анализ данных
- генерация данных по заданным параметрам
- модификация данных
 - шумоподавление
 - восстановление деталей, увеличение разрешения снимков
 - генерация речи, снимков, видео

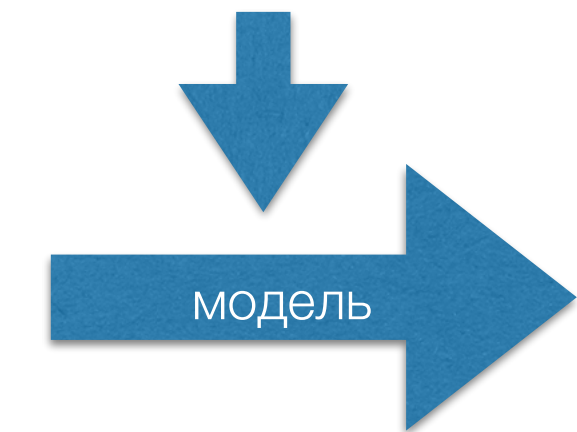
Генеративные модели

Задача: генерация реалистичных данных

Машинное обучение:

примеры реальных
данных

случайный
вектор



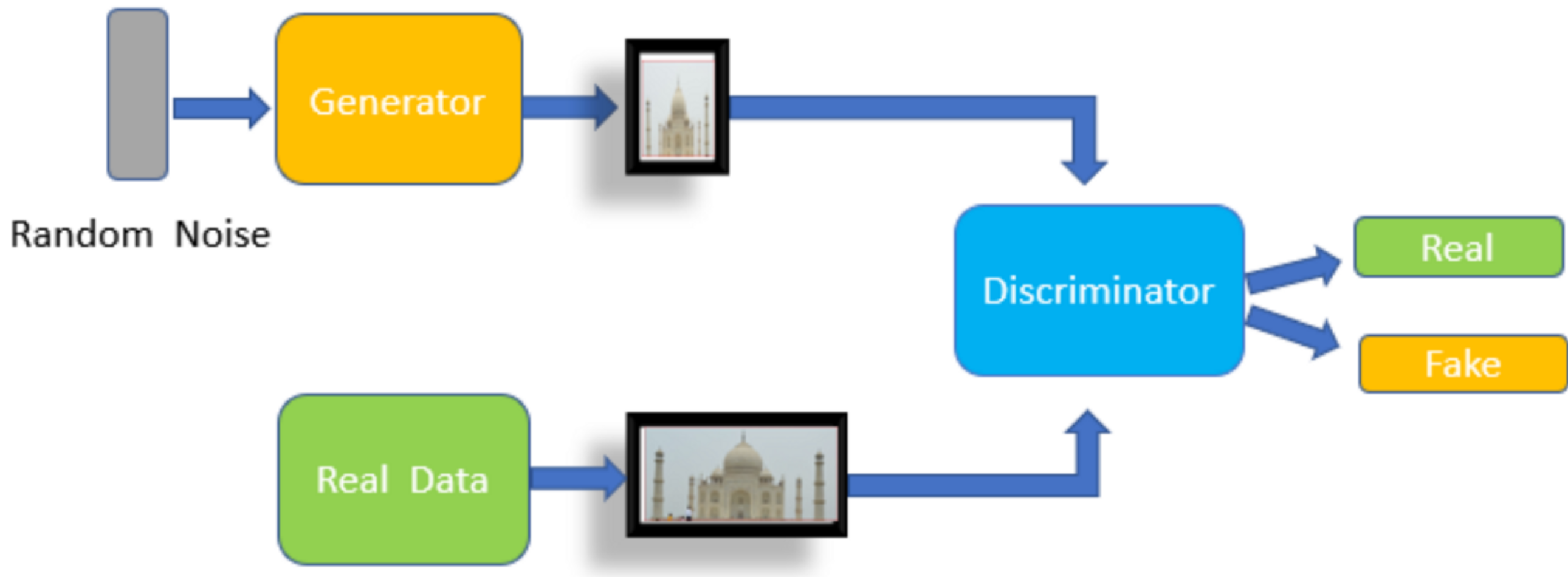
6	6	9	0	8
1	7	9	3	9
1	0	9	4	4
5	2	6	6	8

Как это работает:

Если примеры данных содержат избыточную информацию, сравнительно небольшое число входных параметров (размерность вектора) и большое число данных, используемых для обучения, заставляет модель находить оптимальное описание данных

Генеративно-состязательная сеть

Generative Adversarial Network (GAN)



- Генеративная модель учится генерировать образцы
- Дискриминативная модель учится отличать правильные («подлинные») образцы от сгенерированных

Генеративно-состязательная сеть

Generative Adversarial Network (GAN)

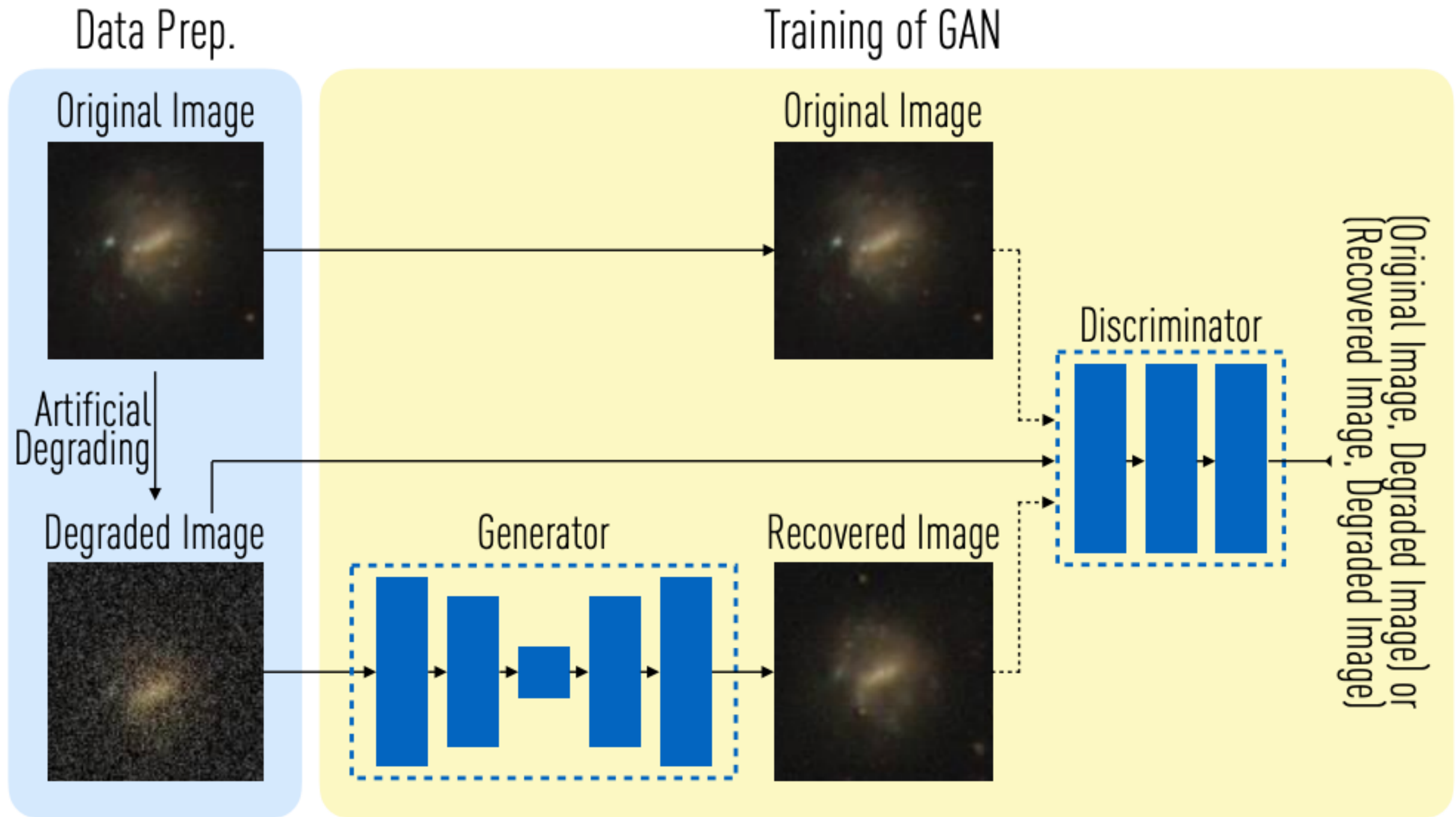
Обучение:

1. Генерируем N образцов с помощью генеративной модели
2. Обучаем дискриминативную модель отличать сгенерированные образцы от реальных на примере N сгенерированных и N реальных
3. Фиксируем веса дискриминативной модели и обучаем генеративную модель обманывать дискриминативную
4. Повторяем весь цикл n раз

Применение GAN в астрофизике и физике частиц

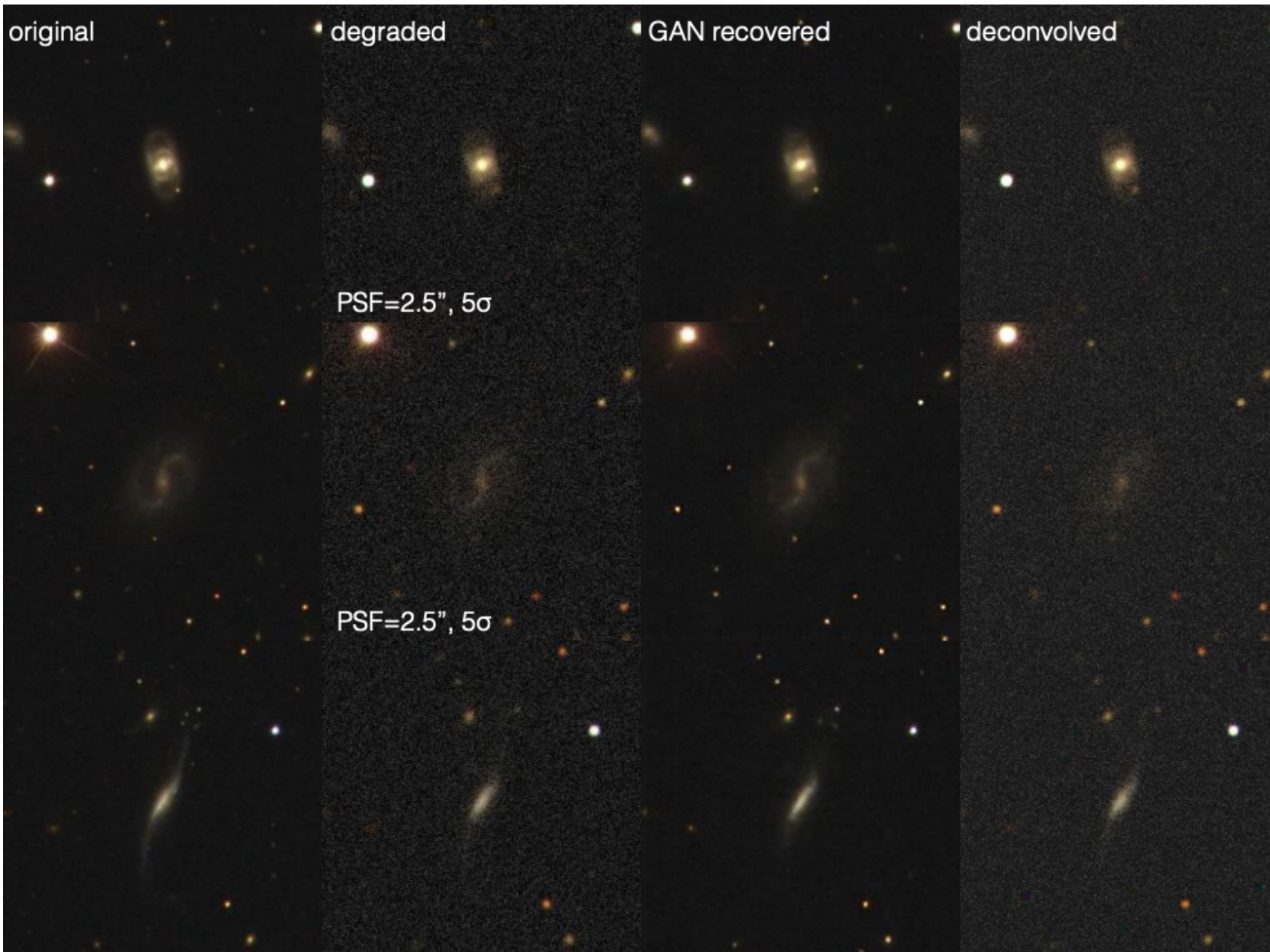
- **генерация данных для грубого анализа в экспериментальной физике**
<https://arxiv.org/abs/1701.05927> генерация треков частиц в калориметре
<https://arxiv.org/abs/1802.03325> генерация ШАЛ от космических лучей
- **восстановление данных, генерация снимков с повышенным разрешением**
Восстановление снимков галактик <https://arxiv.org/abs/1702.00403>

Восстановление снимков галактик



<https://arxiv.org/abs/1702.00403>

Восстановление снимков галактик



<https://arxiv.org/abs/1702.00403>

Реализация GAN на Python с помощью Keras API

jupyter notebook:

[https://colab.research.google.com/drive/
1AkSKVJaEJkHfZJG0SACb7Nh1LcEbiBi8?usp=sharing](https://colab.research.google.com/drive/1AkSKVJaEJkHfZJG0SACb7Nh1LcEbiBi8?usp=sharing)